

МІНІСТЕРСТВО ОСВІТИ І НАУКИ УКРАЇНИ
ЛЬВІВСЬКИЙ НАЦІОНАЛЬНИЙ УНІВЕРСИТЕТ
ПРИРОДОКОРИСТУВАННЯ
ФАКУЛЬТЕТ МЕХАНІКИ, ЕНЕРГЕТИКИ
ТА ІНФОРМАЦІЙНИХ ТЕХНОЛОГІЙ
КАФЕДРА АВТОМОБІЛІВ ТА ТРАКТОРІВ

КВАЛІФІКАЦІЙНА РОБОТА

Освітнього ступеня «Магістр»

на тему: **“Дослідження ефективності роботи автомобільних систем
електронного контролю стійкості”**

Виконав: студент
Спеціальності 274 "Автомобільний транспорт"
(шифр і назва)
Паславський Дмитро Ростиславович
(Прізвище та ініціали)

Керівник: к.т.н., доц. Миронюк О. С.
(Прізвище та ініціали)

Рецензент: _____
(Прізвище та ініціали)

Дубляни 2022

УДК 631.358.1: 78

Паславський Д. Р. Дослідження ефективності роботи автомобільних систем електронного контролю стійкості: Кваліфікаційна робота. Дубляни: Львівський національний університет природокористування, 2022. 84 с.

Табл. 12; бібліогр. джерел 24.

Проведений аналіз даних про зчпні властивості шин, з якого видно, що у відкритих джерелах немає даних про зчпні властивості шипованих шин з відведенням на льоду.

У магістерській роботі застосований метод дорожніх випробувань дозволяє отримати дані про зчпні властивості шипованих шин з відведенням на льоду. У основу методу встановлена обробка даних, зареєстрованих при виконанні маневрів «гальмування задньою віссю в повороті» та «гальмування одним колесом».

Завдяки методу дорожніх випробувань отримані нові $\phi - S$ діаграми для шипованих та нешипованих шин в повздовжньому і поперечному напрямі. Ці діаграми мають між собою значні відмінності. Для шини з шипами за кута відведення 6° максимальний коефіцієнт зчеплення в повздовжньому напрямі становить 0,140 при повздовжньому ковзанні 60%, а для нешипованої шини максимальний коефіцієнт зчеплення в подовжньому напрямі склав 0,090 при повздовжньому ковзанні 15%. З кутом відведення 6° максимальні коефіцієнти зчеплення в поперечному напрямі для шипованої шини склали 0,175, а для нешипованої шини максимальний коефіцієнт зчеплення в поперечному напрямі склав 0,120.

ЗМІСТ

ВСТУП	6
1. ЗАСТОСУВАННЯ ЕЛЕКТРОННОЇ СИСТЕМИ КОНТРОЛЮ СТІЙКОСТІ	7
1.1. Огляд конструкції електронної системи контролю стійкості з гідравлічним приводом робочої гальмівної системи	8
1.2. Принципи функціонування систем контролю стійкості	16
1.3. Огляд систем активної безпеки, які працюють з електронним контролем стійкості	19
1.4. Вимоги до систем електронного контролю стійкості	21
1.5. Аналіз робіт з вдосконалення конструкції систем електронного контролю стійкості	23
Висновки	27
2. ВИЗНАЧЕННЯ $\varphi - S$ ДІАГРАМ НА ЛЬОДУ, ДЛЯ АВТОМОБІЛЯ, ОСНАЩЕНОГО ШИПОВАНИМИ ШИНАМИ	28
2.1. Обґрунтування методики визначення $\varphi - S$ діаграм з відведенням ..	28
2.2. Визначення $\varphi - S$ діаграм з відведенням на поверхні вкритій льодом	30
2.3. Обробка даних, отриманих під час випробувальних заїздів	34
Висновки	37
3. ПРОГРАМА І МЕТОДИКА ЕКСПЕРИМЕНТАЛЬНИХ ДОСЛІДЖЕНЬ	38
3.1. Мета і завдання експериментальних досліджень	38
3.2. Обладнання для вимірювання параметрів	41
3.3. Визначення вагових та геометричних характеристик автомобіля	44
3.4. Метод оцінки ефективності дії системи ЕКС на льоду	47
Висновки	52
4. РЕЗУЛЬТАТИ ЕКСПЕРИМЕНТАЛЬНИХ ДОСЛІДЖЕНЬ	54
4.1. Аналіз експериментальних $\varphi - S$ діаграм з відведенням на льоду	54
4.2. Ефективність дії системи ЕКС на крижаній поверхні	61
Висновки	65

5. ОХОРОНА ПРАЦІ ТА БЕЗПЕКА У НАДЗВИЧАЙНИХ СИТУАЦІЯХ	67
5. 1. Основні завдання охорони праці	67
5.2. Безпека при проведенні випробувань	72
5.3. Структура служби охорони праці у підприємстві	73
5.4. Аналіз умов праці та травматизму у підприємстві	74
5.5. Захист навколишнього середовища	78
Висновки	79
ЗАГАЛЬНІ ВИСНОВКИ	81
Список використаних джерел	83

ВСТУП

Важливим етапом в удосконаленні конструкції автомобіля стало покращення електронних систем, таких як, антиблокувальна система (АБС) і електронна система контролю стійкості (ЕКС). Відповідно до Правил ЄЕК ООН №13Н - 00 [1], які включають деякі вимоги до ефективності дії систем ЕКС. Детальніше питання ефективності дії систем ЕКС розглянуті в глобальних технічних правилах №8 [2], де ефективність дії системи ЕКС визначається за наслідками виконання маневру «усічена синусоїда» із застосуванням кермового робота. Після виконання випробувального маневру оцінюються швидкості відведення та бічний зсув автомобіля через певні інтервали часу після завершення повороту кермового колеса. Недоліком такого методу є обмежена область застосування. Випробування проводяться на покритті з високим коефіцієнтом зчеплення застосовуючи не шиповані шини. Проте очевидно, що втрата стійкості та керованості автомобіля більш вірогідна на поверхні з низьким коефіцієнтом зчеплення (лід, трамбований сніг, запилений та вологий асфальт).

Не дивлячись на те, що система ЕКС вже є обов'язковою при сертифікації на покриттях з низьким коефіцієнтом зчеплення, вона не перевіряється. Вона також не перевіряється і на зимових шинах, зокрема, на шипованих. Відсутній критерій і методика визначення ефективності дії системи ЕКС на обледенілій поверхні, для автомобіля з шипованими шинами.

Використовуючи досвід попередніх робіт, де була доведена можливість зниження ефективності дії АБС при оснащенні автомобіля шипованими шинами на обледенілій поверхні, можна стверджувати про актуальність удосконалення електронна система контролю стійкості. Однією з причин цього є різна характеристика $\varphi - S$ діаграм шипованої шини по відношенню до не шипованої як в повздовжньому, так і в поперечному напрямі на опорній поверхні з низьким коефіцієнтом зчеплення (лід).

1. ЗАСТОСУВАННЯ ЕЛЕКТРОННОЇ СИСТЕМИ КОНТРОЛЮ СТІЙКОСТІ

Електронна система контролю стійкості (ЕКС) з'явилася в процесі розвитку антиблокувальних систем (АБС). Перші дослідні зразки системи ЕКС застосовано у 1992 році, а в 1995 році вона вже з'явилася на серійних автомобілях [3]. На сьогодні система ЕКС включає АБС та протибуксувальну систему (ПБС). Виробники автомобілів застосовують велика кількість аббревіатур, для позначення ЕКС, зокрема:

- ASC (Active Stability Control) і ASTC (Active Skid and Traction Control), застосовується у автомобілях: Mitsubishi;
- Advance Trac, використовується в автомобілях: Lincoln, Mercury;
- CST (Controllo Stabilita), застосовується у автомобілях: Ferrari;
- DSC (Dynamic Stability Control), застосовується у автомобілях: BMW, Ford (тільки в Австралії), Jaguar, Land Rover, Mazda, MINI;
- DSTC (Dynamic Stability and Traction Control), застосовується у автомобілях: Volvo;
- ESC (Electronic Stability Control), застосовується у автомобілях: Chevrolet, Hyundai, Kia;
- ESP (Elektronic Stability Program) застосовується у автомобілях: Audi, SKODA, Volkswagen, Bentley, Bugatti, Chery, Chrysler, Citroen, Dodge, Daimler, Fiat, Holden, Hyundai, Jeep, Kia, Lamborghini, Mercedes Benz, Opel, Peugeot, Proton, Renault, Saab, Scania, SEAT, Smart, Suzuki, Vauxhall;
- _IVD (Interactive Vehicle Dynamics), застосовується у автомобілях: Ford;
- MSP (Maserati Stability Program), застосовується у автомобілях: Maserati;
- PCS (Precision Control System), застосовується у автомобілях: Oldsmobile (виробництво яких припинене в 2004 році);
- PSM (Porsche Stability Management), застосовується у автомобілях: Porsche;
- RSC (AdvanceTrac with Roll Stability Control), застосовується у автомобілях Ford;

- Stability Trak, застосовується у автомобілях: Buick, Cadillac, Chevrolet (на Corvette називається Active Handling), GMC Truck, Hummer, Pontiac, Saab, Saturn;
- VDC (Vehicle Dynamic Control), застосовується у автомобілях: Alfa Romeo, Fiat, Infiniti, Nissan, Subaru;
- VDIM (Vehicle Dynamics Integrated Management) з VSC (англ. Vehicle Stability Control), використовується в автомобілях: Toyota, Lexus;
- VSA (Vehicle Stability Assist), застосовується у автомобілях: Acura, Honda, Hyundai.

На сьогодні найбільшого поширення набула аббревіатура ESP - Electronic Stability Program.

1.1. Огляд конструкції електронної системи контролю стійкості з гідравлічним приводом робочої гальмівної системи

Для оцінки параметрів руху автомобіля система ЕКС отримує сигнали з сенсорів та обробляє отриману інформацію (рис. 1.1). Таким чином, система здійснює порівняння фактичних параметрів руху автомобіля з розрахунковими, які відповідають куту повороту кермового колеса і швидкості руху автомобіля. Якщо ж фактичні параметри не відповідають розрахунковим, то система ЕКС коректує їх.

Виробники застосовують два типи сенсорів частоти обертання колеса: пасивні (магнітні) та активні (напівпровідникові) [4]. Пасивний сенсор складається з котушки та сердечник (рис. 1.2). Сердечник сполучений з магнітом. Ротор, що обертається, має зубчатий вінець, біля якого розташований сенсор. Коли зазор між сердечником та ротором змінюється, індукується електричний струм, частота якого прямо пропорційна кутовій швидкості обертання колеса. Отримана інформація від сенсора передається по

спеціальному кабелю до блоку управління ЕКС. Пасивні індукційні сенсори бувають однополюсними та двополюсними.

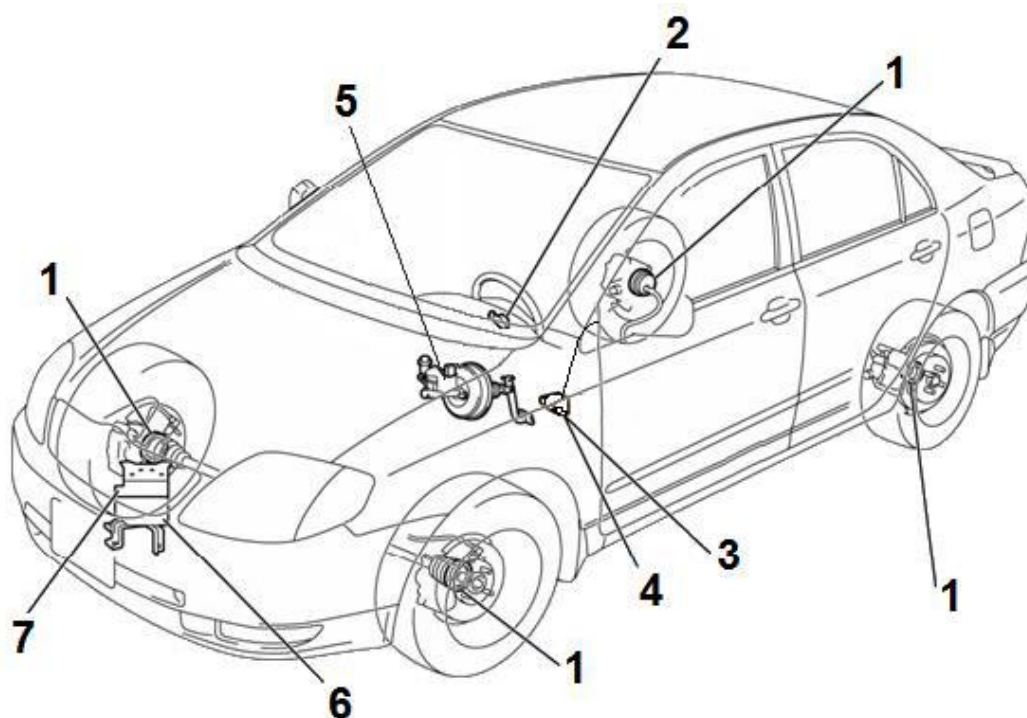


Рисунок 1.1. Розташування сенсорів та блоків управління системи ЕКС [4]: 1 - сенсори частоти обертання коліс; 2 - сенсор кута повороту кермового колеса; 3 - сенсор відведення; 4 - сенсор повздовжніх і поперечних прискорень; 5 - сенсор тиску в головному гальмівному циліндрі (ГТЦ); 6 – електронний блок системи ЕКС; 7 – гідравлічний блок

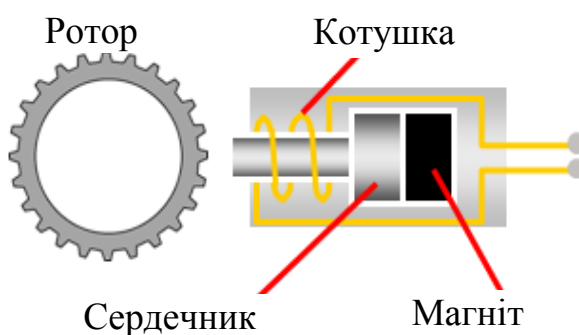


Рисунок 1.2. Пасивний сенсор частоти обертання колеса [4]

Принцип дії активних сенсорів заснований на ефекті Хола. В корпус сенсора встановлено напівпровідникову пластину, до граней якої підводять електричний струм. Кільце постійного магніту кріпиться до маточини колеса і обертається разом з нею. В результаті, зміни магнітного поля переміщують

електрони на один з країв пластини А або В, згідно ефекту Хола (рис. 1.3). Концентрація електронів на одному з країв пластини буде обумовлена полярністю магнітного поля. При обертанні колеса за годинниковою стрілкою електрони накопичуються на верхньому краю пластини, в області А, проти годинникової - в нижньому краю, в області В. Мікросхеми перетворюють сигнал, та на виході виникає напруга, яка передається блоку управління.

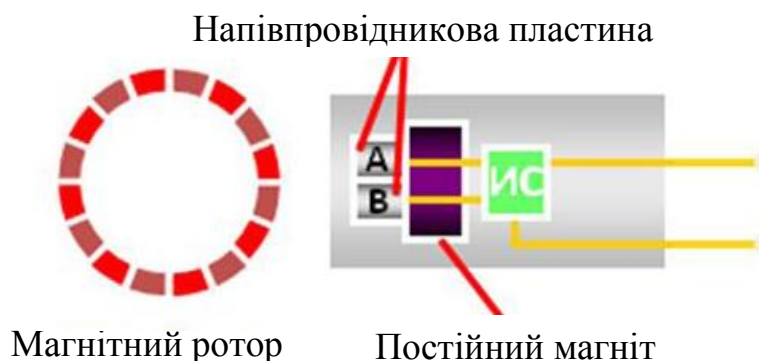


Рисунок 1.3. Активний сенсор частоти обертання колеса [4]: А – верхня частина напівпровідникової пластини; В – нижня частина напівпровідникової пластини

Перевага сенсора частоти обертання активного типу полягає в здатності визначати дуже малі частоти обертання колеса, що дуже важливо для сучасних систем ЕКС.

Для вимірювання кута повороту кермового колеса використовується декілька типів сенсорів, побудованих на різних фізичних принципах вимірювань: оптичного, індуктивного, сенсор потенціометра Холу і магніторезисторні сенсор [4].

Сенсор потенціометра кута повороту кермового колеса відноситься до контактних сенсорів. Він включає два потенціометри, закріплені на кермовій колонці. Один потенціометр зміщений щодо іншого на 90° , що дозволяє визначати відносний і абсолютний кути повороту кермового колеса. Зміна опору потенціометра пропорційна куту повороту кермового колеса. Зважаючи на невисоку надійність, пов'язану з наявністю рухомих контактів, сенсори потенціометрів в кермовому управлінні в даний час майже не застосовуються.

Досконалішим сенсорним пристроєм є безконтактний оптичний сенсор кута повороту кермового колеса. Сенсор об'єднує диск з щілинами і фото переривник (рис. 1.4).

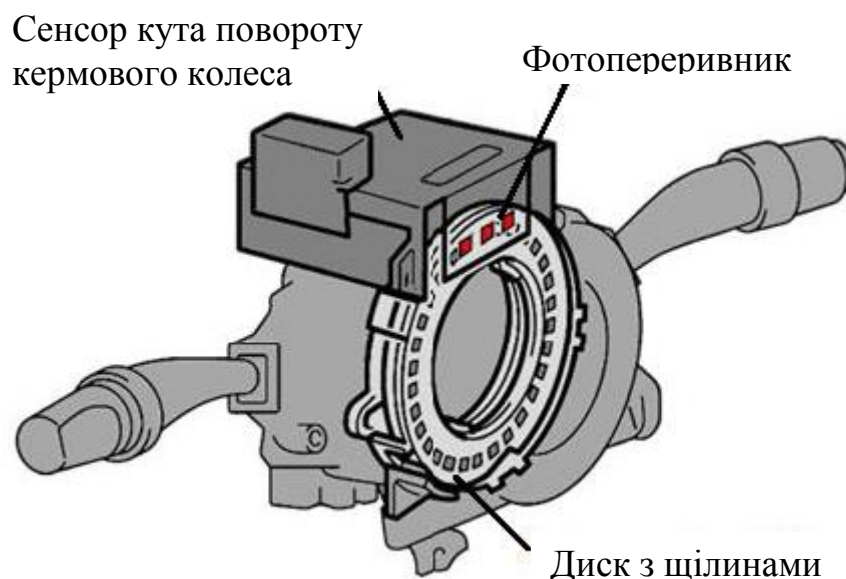


Рисунок 1.4. Оптичний сенсор кута повороту кермового колеса [4]

Диск з щілинами жорстко закріплений на кермовому валу. Він має два сегментарні кільця - внутрішні та зовнішні. На внутрішньому кільці рівномірно по колу розміщені прямокутні отвори, на зовнішньому кільці отвори розташовані нерівномірно. Конструкція внутрішнього кільця дозволяє визначати величину кута повороту кермового колеса. За допомогою зовнішнього кільця оцінюється напрям обертання кермового колеса у будь-який момент часу.

Фото переривник складається з джерела світла - світло діоди та світлочувливих елементів - фото транзистори. Між кільцями розташовані світло діоди, зовні кільце встановлені фото резистори. Кількість світло діодів та фото резисторів розрізняється залежно від конструкції сенсора. При попаданні променя світла від світло діода на сенсор, в електричному ланцюзі генерується напруга, за умови відключення світла - напруга зменшується. На підставі імпульсів напруги електронний блок управління розраховує кут і напрям повороту кермового колеса.

Індукційний сенсор за принципом своєї будови схожий з індуктивним сенсором частоти обертання колеса, який розглядався вище.

Сенсор кута повороту кермового колеса, заснований на ефекті Хола, крім частоти обертання, здатний вимірювати і обертовий момент на кермовому колесі. Сенсор вбудований в кермову колонку. На кермовому валу встановлений багатополіусний магніт з декількома парами полюсів. На валу-шестерні є два статори із зубами особливої форми. Кермовий вал і вал-шестерня пов'язані один з одним віссю, яка володіє обертовою жорсткістю. Чутливим елементом сенсора обертового моменту є нерухомий сенсор Хола, закріплений на корпусі (рис. 1.5).

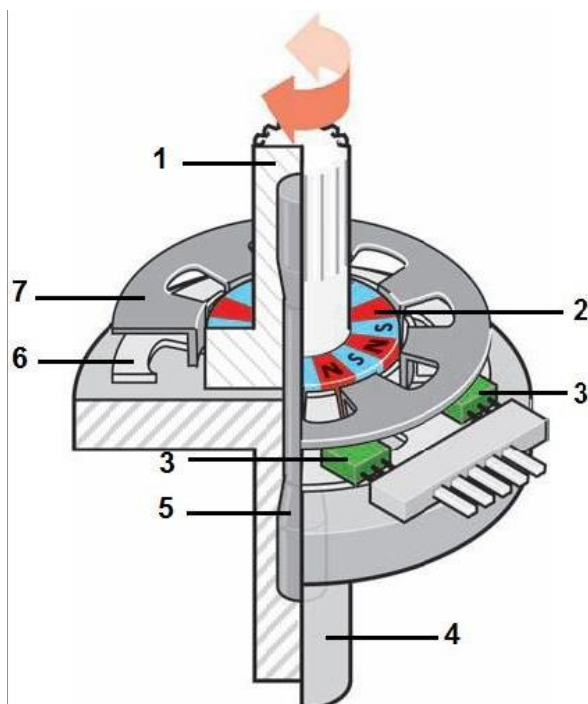


Рисунок 1.5. Сенсор кута повороту кермового колеса, заснований на ефекті Хола [4]: 1 - вхідний вал кермової колонки; 2 - кільцевий магніт; 3 - сенсор хола; 4 - вихідний вал-шестерня; 5 - торсійна вісь; 6 - перший статор; 7 – другий статор.

Принцип дії сенсора побудований на вимірюванні кута закручування торсійної осі, який пропорційний обертовому моменту на кермовому колесі. У початковому положенні (положення кермового колеса, відповідне прямолінійному руху) зубці статорів розташовані строго між полюсами

магнітів, що відповідає мінімальному сигналу сенсора. При повороті кермового колеса торсійна вісь закручується. Відповідно, багатополісний магніт повертається відносно статорів. Максимальний сигнал сенсора досягається, коли зуби кожного із статорів розташовуються напроти полюсів магніту. У цьому положенні створюється максимальний магнітний потік, який фіксується сенсорами Хола. Для інших положень сенсора є проміжними.

Кут закручування торсійної осі відносно невеликий, тому діапазон вимірювання сенсора складає $4 - 5^\circ$ в кожную сторону. Сенсор обертового моменту побудований на ефекті Хола, дозволяє добитися високої точності вимірювання. Для компенсації температурних переміщень при вимірюванні обертового моменту може мати вбудований сенсор температури.

Багато в чому схожу конструкцію має магніторезисторний сенсор обертового моменту. Його вимірювання також здійснюється за кутом закручування торсійної осі. На валу кермової колонки розташований багатополісний магніт, а на валу-шестерні два магніторезисторні чутливі елементи. Повертаючи магнітний диска, магніторезисторні елементи фіксують зміну магнітного потоку і формують електричний сигнал.

Для визначення фізичних сил, діючих на автомобіль, використовуються сенсори повздовжнього, поперечного прискорень та повороту навколо вертикальної осі. Існує безліч різних конструкцій цих сенсорів. Як правило ці сенсори об'єднані в один корпус [4].

Для вимірювання відхилення автомобіля, використовують гіротон у формі камертона (рис. 1.6). Кожен важіль сенсора має вібраційну зону та зону вимірювання. Зона вимірювання зсунута на 90° по відношенню до вібраційної зони, до якої кріпиться керамічний елемент. Подаючи змінну напругу елемент примушує вібрувати камертон. Зона вимірювання сполучена з іншим елементом. Цей елемент покликаний генерувати напругу, коли під дією зовнішньої сили відбувається деформація кераміки.

Відхилення визначається зоною вимірювання, згідно ступеню та напрямку деформації п'єзоелектричного керамічного елементу.

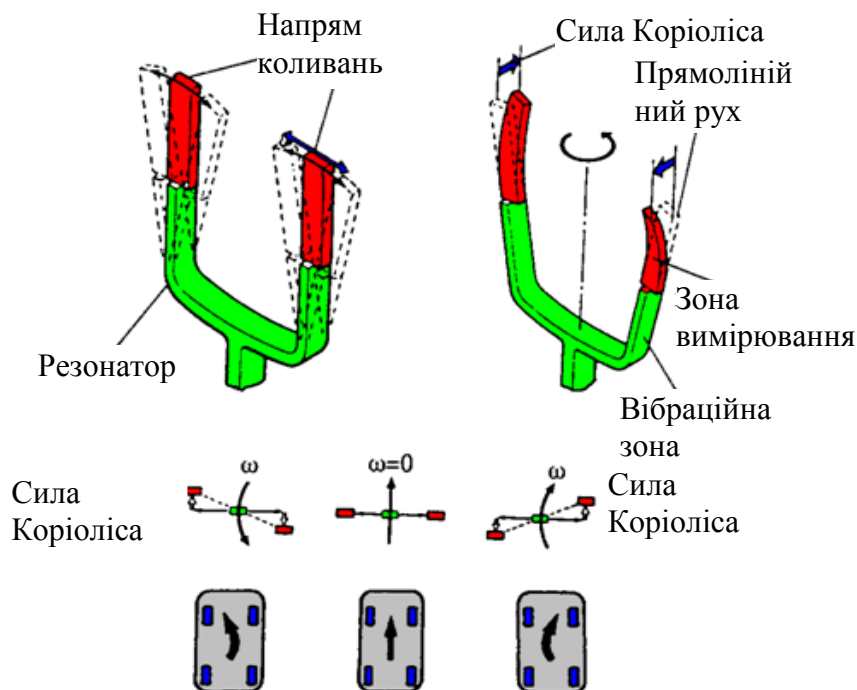


Рисунок 1.6. Принцип роботи сенсора відхилення [4]

Для визначення повздовжнього та поперечного прискорень на автомобіль встановлені два сенсори, що складаються з п'єзоелектричних елементів. Під час прискорень частина балансування сенсорів деформується подібно плоскій пружині. П'єзoeлемент деформується і виробляє електричний сигнал, який подається в електронний блок управління системи ЕКС.

Сенсор тиску встановлений в головному гальмівному циліндрі призначений для вимірювання тиску в гальмівній системі, який нагнітається водієм за допомогою педалі гальма. Основний елемент сенсора - мікроелектронний чіп, виконаний із застосуванням кремнієвої діафрагми [3].

Для зменшення кількості дротів найчастіше електронний блок управління системи ЕКС суміщають з виконавчим механізмом.

Блок управління має мікро контролери з блоком постійної пам'яті. Так встановлені запускаючі та комутуючі пристрої для включення каналів управління і контрольних ламп, напівпровідникові реле для подачі живлення на електроспоживачі (гідро клапани та насоси нагнітання) [3].

Крім інформації з основних сенсорів, блок управління системою ЕКС, може отримувати інформацію від інших систем автомобіля по комунікаційній

шині передачі даних CAN. Схема роботи сучасної системи ЕКС представлена на рис. 1.8 [4].

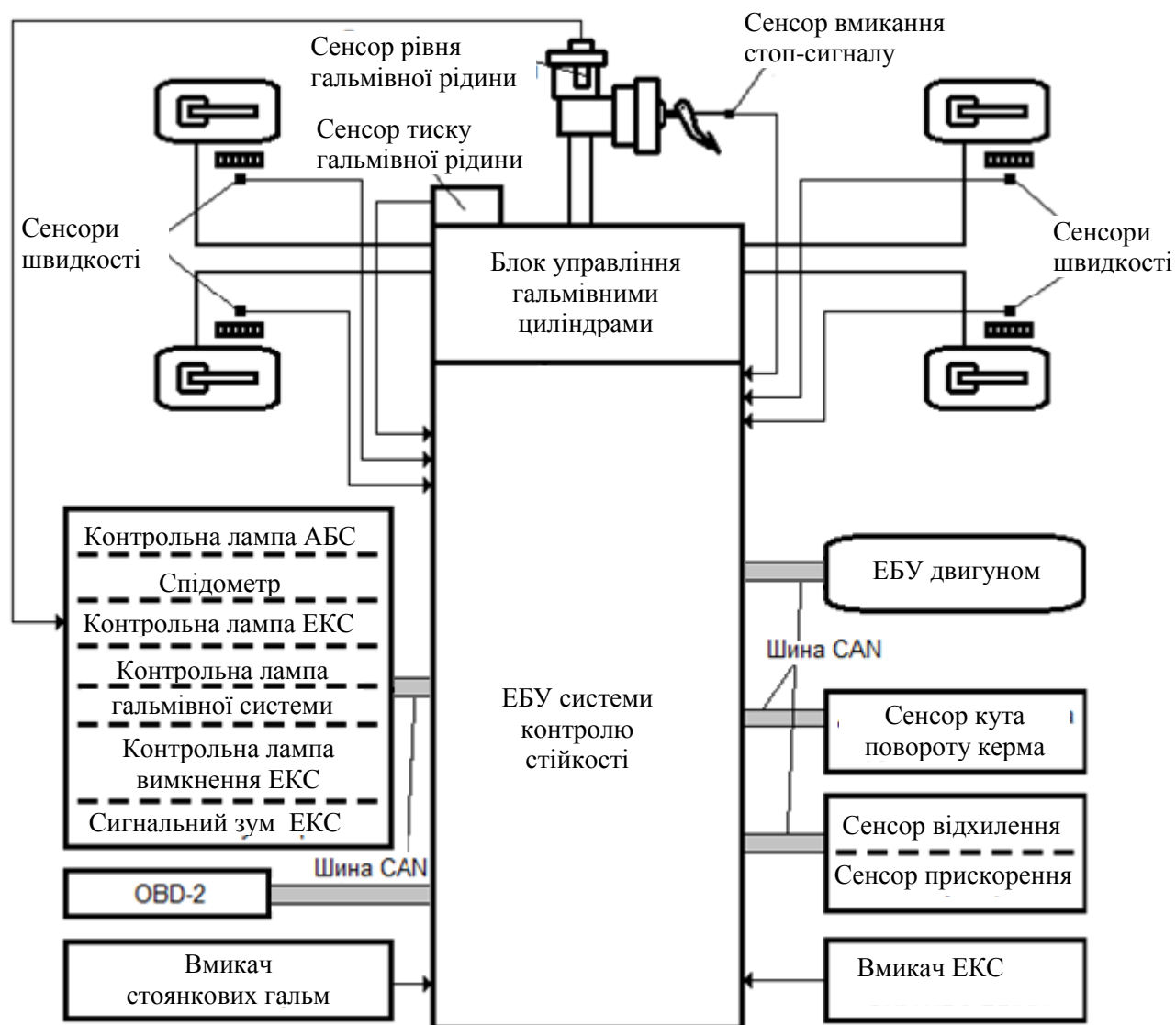


Рисунок 1.8. Схема роботи електронної системи контролю стійкості [4]

ЕБУ обчислює швидкість автомобіля, розраховувавши середнє значення частот обертання чотирьох коліс та інформації з сенсорів прискорень. Ступінь прискорення колеса визначається завдяки обчислення різниці частот обертання колеса через фіксовані інтервали часу. Кутова швидкість (момент відхилення), величини повздовжніх та поперечних прискорень дають блоку управління інформацію про сили, діючі на автомобіль. Інформація з сенсора кута повороту кермового колеса, тиску в гальмівній системі та блоку управління двигуном дає ЕБУ системи контролю стійкості інформацію про бажання водія.

Використовуючи цю інформацію, відповідно до закладених алгоритмів, ЕБУ системи видає відповідні сигнали на виконавчі механізми.

Функцію виконавчого механізму виконує блок клапанів, який регулює гідравлічний тиск в циліндрах кожного колеса окремо, за допомогою модуляторів та насоса. Блок управління робочими циліндрами гальм може мати різний принцип роботи модуляторів: клапанні, золотникові, діафрагмові, змішані. Клапанні модулятори розрізняють по двох видах управління робочими циклами: двофазні (скидання тиску - збільшення) і трифазні (скидання - витримка - збільшення тиску). Від частоти, з якою модулятор може здійснювати робочий цикл, залежить діапазон регулювання відносного ковзання колеса, а, отже, і якість роботи системи. Трифазний модулятор забезпечує дещо меншу витрату робочого тіла.

В сучасних системах ЕКС використовуються клапанні блоки управління робочими циліндрами гальм з поворотним насосом. У деяких конструкціях, також зустрічається акумулятор для рідини. У контролюючій системі блок клапанів приймає сигнали від електронного блоку управління. Під час надходження відповідного сигналу електромагнітні клапани регулюють тиск в робочих гальмівних циліндрах. Тиск може збільшуватися, зменшуватися, або утримуватися.

1.2. Принципи функціонування систем контролю стійкості

ЕКС покликана, в першу чергу, запобігати мимовільному виходу автомобіля з траєкторії руху при проходженні поворотів, перестроюваннях та інших ситуаціях, які можуть спричинити за собою втрату зчеплення задніх коліс (надмірне повертання), втрату зчеплення передніх коліс (недостатнє повертання) (рис. 1.9).

Недостатнє чи надмірне повертання ЕКС визначає по значеннях бічного прискорення та кутової швидкості автомобіля. Необхідний момент відхилення

визначається по швидкості автомобіля та даним з сенсора кута повороту кермового колеса. Фактичний момент відхилення визначається сенсором відхилення автомобіля, тоді, як дані сенсора прискорення, разом з швидкістю автомобіля, визначають напрям руху центру мас.

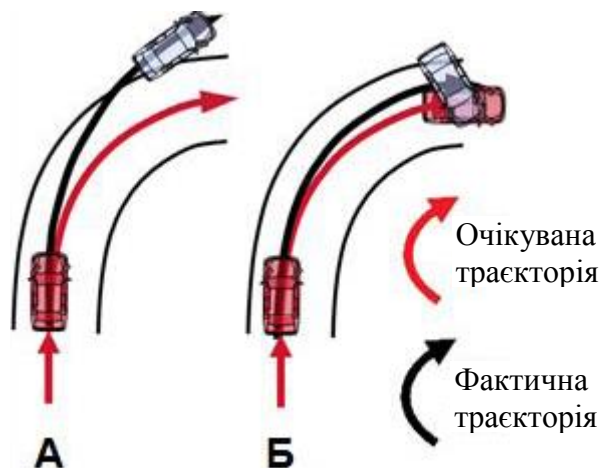


Рисунок 1.9. Рух без ЕКС: А - надмірна повертання; Б - недостатнє повертання

Недостатня повертання реєструється, коли фактичний момент відхилення виявляється менше, ніж розрахунковий, виходячи з показників сенсорів. При цьому автомобіль виконує поворот по більшому радіусу, ніж намагався зробити водій.

Надмірна повертання визначається, як дуже високий ступінь відхилення для траєкторії руху автомобіля, в порівнянні з траєкторією, що задається водієм.

Метод визначення надмірної керованості відрізняється від методу визначення недостатньої керованості: у випадку надмірної повертання, фактичний ступінь відхилення може бути рівним розрахунковому відхиленню. Для визначення траєкторії центру мас використовується інформація від сенсорів частоти обертання та бічного прискорення автомобіля.

Недостатня керованість без повного заносу передньої осі в окремому випадку може усуватися шляхом гальмування задньої осі для зниження швидкості та гальмуванням внутрішнього колеса передньої осі для формування компенсуючого моменту відхилення всередину повороту за рахунок збільшення тиску в робочому гальмівному циліндрі (рис. 1.10. А). Але

зважаючи на перерозподіл маси на передній осі автомобіля, ця умова дуже обмежена.

Недостатня керованість з повним заносом передньої осі, коли зчеплення передньої осі мінімальне, усувається шляхом гальмування задньої осі для зниження швидкості та формування компенсуючого моменту відхилення за рахунок збільшення тиску в робочому гальмівному циліндрі внутрішнього колеса в порівнянні із зовнішнім (рис. 1.10 Б).

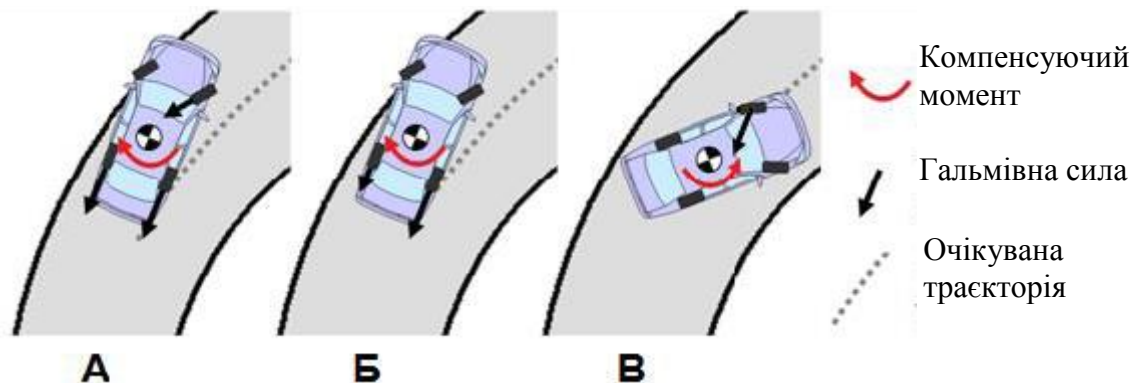


Рисунок 1.10. Методи збереження стійкості та корекції параметрів керованості автомобіля: А - при недостатньому повертанні без повного заносу передньої осі; Б - при недостатньому повертанні з повним заносом передньої осі; В - при надмірному повертанні.

Надмірне повертання усувається пригальмовуванням зовнішнього переднього колеса. В результаті створюється момент відхилення направлений назовні (до зовнішньої сторони траєкторії повороту автомобіля мал. 1.10.В).

При гальмуванні в повороті та виникненні надмірного або недостатнього повороту, система регулює тиск в гальмівних механізмах певних коліс, відповідно до алгоритмів спільної роботи ЕКС та антиблокувальної системи (АБС). Пріоритетом при цьому є збереження стійкості та керованості автомобіля, а вже потім скорочення гальмівного шляху.

Окрім дії на гальмівні механізми система ЕКС так само може впливати на роботу автоматичної коробки передач та обертовий момент двигуна (функція протибуксуючої системи).

1.3. Огляд систем активної безпеки, які працюють з електронним контролем стійкості

Крім власної функції, ЕКС входить у комплекс різних систем активної безпеки, таких як АБС (антиблокувальна система), ПБС (протибуксуюча система), EBD (Electronic Brake force Distribution) електронний розподіл гальмівних сил, BAS (Brake Assist System) система екстреного гальмування, ETS (Electronic Traction System) система регулювання тягового зусилля, EBR (Electronic Brake Regulation) система регулювання гальмування двигуном на слизькій дорозі [3].

Задачею АБС є підтримка гальмуючого або привідного колеса в режимі оптимального відносного ковзання, за якого поздовжній коефіцієнт зчеплення шин (φ_x) з опорною поверхнею приймає значення, близькі до максимальних. Це представлено так званою $\varphi - S$ діаграмою, відображеною на рис. 1.11. [5].

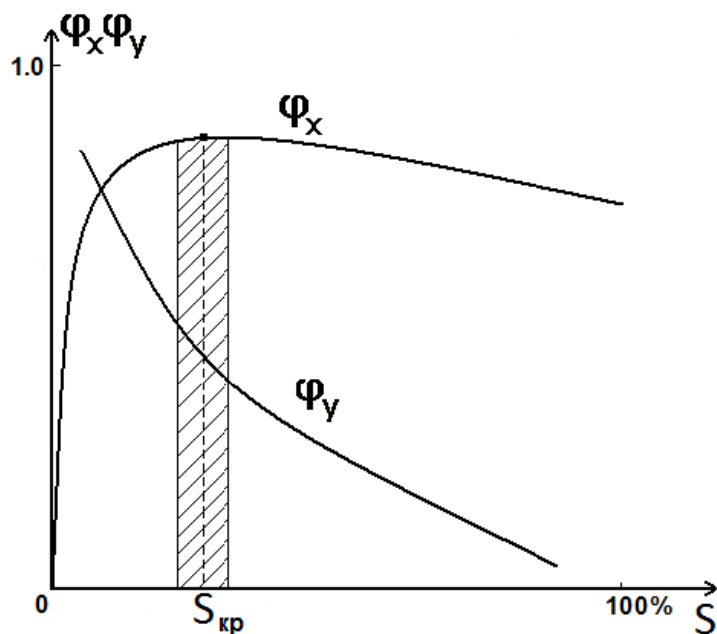


Рисунок 1.11. $\varphi - S$ діаграма гальмівного режиму колеса на покритті «сухий асфальт» [5]

Застосування АБС, надало змогу автомобілю наступних властивостей: підвищення активної безпеки автомобіля, а саме підвищення гальмівної ефективності (особливо на слизьких поверхнях), продовження терміну служби шин, поліпшення стійкості та керованості в гальмівному режимі.

У основі роботи протибуксувальної системи також лежить принцип підтримки оптимального відносного ковзання (буксування) привідних коліс в тяговому режимі. Переваги цієї системи полягають в підвищенні стійкості автомобіля під час рушання з місця, розгоні та русі по поверхні з низьким коефіцієнтом зчеплення і збільшенні тягової сили. При цьому знижується стомлюваність водія, збільшується інформативність управління, поліпшується інтенсивність розгону, прохідність (особливо яскраво це забезпечується на обледенілій або мокрій та забрудненій дорозі), зменшуються навантаження в трансмісії при різкій зміні коефіцієнта зчеплення.

Характер кривих для гальмівного і тягового режимів майже ідентичні. Криві для тягового режиму «дзеркально» повернені щодо кривих для гальмівного режиму [5]. У обох випадках криві мають максимум, відповідний критичному відносному ковзанню $S_{кр}$, яке потрібно забезпечити застосовуючи автоматичне регулювання ковзання колеса в гальмівному режимі, та в режимі буксування.

Для своєї роботи АБС досить сенсорів частоти обертання коліс, проте, за наявності на автомобілі ЕКС, ці системи можуть використовувати також інформацію з сенсорів прискорень та відхилення для точнішого регулювання гальмівного і тягового режимів завдяки інформації про стійкість автомобіля.

Електронна система розподілу гальмівного зусилля (EBD) оптимізує розподіл гальмівного зусилля перед блокуванням коліс між передньою і задньою осями, та між лівими і правими колесами, що зменшує вірогідність початку дії АБС. Це допомагає мінімізувати гальмівний шлях та зберегти стійкість автомобіля, адаптуючи розподіл тиску в гальмівній системі до режиму завантаженості кожного колеса транспортного засобу.

Для своєї роботи система EBD отримує інформацію з сенсорів частоти обертання коліс.

Основним призначенням системи екстреного гальмування (BAS) є забезпечення додаткового гальмівного зусилля для допомоги водію досягти максимального гальмівного зусилля при екстреному гальмуванні.

Для розпізнавання екстреного гальмування BAS збирає інформацію з сенсора тиску в головному гальмівному циліндрі та сенсорів частоти обертання і розраховує похідну тиску dp/dt .

Електронна система регулювання тягового зусилля (ETS) є автоматичною системою для запобігання пробуксовуванню привідних коліс під час початку руху, розгону, руху по прямій та в поворотах на бездоріжжі. Вона служить для досягнення найбільш оптимального розгону при різних станах дорожнього покриття і забезпечує стабілізацію автомобіля на дорозі. Система здійснює гальмівну дію на одне або обидва пробуксовуючі ведучі колеса. Відмінність від системи ПБС полягає у тому, що ETS розподіляє тягові сили по бортах до початку пробуксовування, передаючи більший обертовий момент на зовнішнє привідне колесо під час повороту.

Система регулювання гальмування двигуном на слизькій дорозі (EBR) допомагає автомобілю з підвищеною прохідністю почати рух на покриттях з низьким коефіцієнтом зчеплення. Система збирає інформацію з сенсорів частот обертання коліс та завдяки управлінню дросельною заслінкою або зменшення подачі палива знижує тягу на привідних колесах автомобіля. За цих обставин водію не потрібно користуватися педалями гальма та подачі палива, йому залишається тільки змінювати рульовим колесом напрям руху.

Додатково до системи ЕКС під'єднані сенсори електропідсилювача кермового управління. Система фіксує зусилля кермового управління відповідно до стану стійкості. У випадку недостатнього кута повороту допоміжне зусилля збільшується і допомагає водію коректувати стійкість, а при збільшеному куті навпаки.

1.4. Вимоги до систем електронного контролю стійкості

Транспортні засоби, оснащені системою ЕКС, повинні задовольняти наступним вимогам [1]:

- кожен автомобіль, що потрапляє під дію регламенту і обладнаний системою ЕКС повинен прикладати гальмівний момент окремо на всі чотири колеса та відповідно мати алгоритм контролю, що дозволяє використовувати цю здатність;

- зберігати працездатність у всьому діапазоні швидкостей транспортного засобу на всіх етапах водіння, включаючи прискорення, та уповільнення, за винятком випадків, коли водій відключив ЕКС, коли автомобіль рухається з швидкістю менше 20 км/год, або рухається заднім ходом;

- зберігати працездатність навіть за умови включення антиблокувальної системи гальм, або антипробуксовуючої системи;

- коли завершена первинна самоперевірка в процесі запуску та під час перевірок достовірності впродовж не більш 2 хвилин. при управлінні.

Ефективність дії системи регламентують перевіряти тільки на покриттях з високим коефіцієнтом зчеплення.

Швидкість відхилення, визначена через 1 с. після завершення повороту кермового колеса не повинна перевищувати 35% від першого пікового значення швидкості відхилення, зареєстрованого після зміни знаку кута повороту кермового колеса на зворотний (між першим і другим піковими значеннями) в процесі одного і того ж випробувального прогону.

Швидкість відхилення, виміряна через 1,75 с. після завершення повороту кермового колеса не повинна перевищувати 20% від першого пікового значення швидкості відхилення, зареєстрованого після зміни знаку кута повороту кермового колеса на зворотний (між першим і другим піковими значеннями) в процесі одного випробувального прогону.

Бічний зсув центру тяжіння транспортного засобу по відношенню до його первинного прямолінійного курсу повинен складати не менше 1,83 м для транспортних засобів з максимальною масою 3500 кг та менше 1,52 м для транспортних засобів з максимальною масою більше 3500 кг; ці значення визначають через 1,07 с. після початку повороту кермового колеса.

Розрахунок бічного зсуву здійснюється за допомогою подвійного інтеграла за часом від функції виміряного бічного прискорення в центрі тяжіння транспортного засобу згідно формули [6]:

$$\iint a_{y.c.g.} dt$$

1.5. Аналіз робіт з вдосконалення конструкції систем електронного контролю стійкості

Існує велика кількість наукових праць на тему гальмівної динаміки, керованості та стійкості автомобіля. Окремо з них можна виділити праці, присвячені впливу електронних систем на активну безпЕКС автомобіля. Проте, в основному, всі ці дослідження проводилися на стенді в лабораторних умовах, або на полігоні на твердому покритті з високим коефіцієнтом зчеплення. Дослідження електронних систем контролю стійкості на льоду при оснащенні автомобіля шипованими шинами представлені у невеликій кількості. Найближчими і актуальнішими дослідженнями з даного питання є роботи таких дослідників, як Зотов, Н.М., Балакіна Е. В.[7], Рябчинский, А.И., Кисуленко Б. В. [9], Расаєжа Н.В.[10], і ін.

Силтус А.П. у своїй роботі [11] представив поведінку пневматичної шини в умовах дії на колесо не тільки гальмівної або тягової сили, але, одночасно, і бічного відведення в стаціонарному і нестаціонарному режимі. Згідно досліджень побудовано залежності бічної та повздожньої реакцій від ковзання для нешипованих шин з відведенням (рис.1.12) і зроблено наступні висновки:

- характеристики рухомого колеса можуть значно відрізнятись від стаціонарних, особливо, при розгальмовуванні колеса;
- за умови руху без відведення прояв динамічних властивостей шини обмежується областю малих дотичних реакцій;

- при русі з відведенням прояв динамічних властивостей шини в області малих проковзувань дещо ослаблюється, а в області великих - істотно посилюється;
- при русі без відведення динамічні властивості колеса у області великих дотичних сил, близьких до граничних по зчепленню, визначаються практично тільки інерцією колеса;
- при русі з відведенням динамічні властивості колеса формуються переважно несталим характером бічної деформації шини та інерцією колеса;
- зі збільшенням швидкості руху, величини кута відведення і зменшенням темпу (частоти) зміни гальмівного моменту прояв динамічних властивостей шини зменшується.

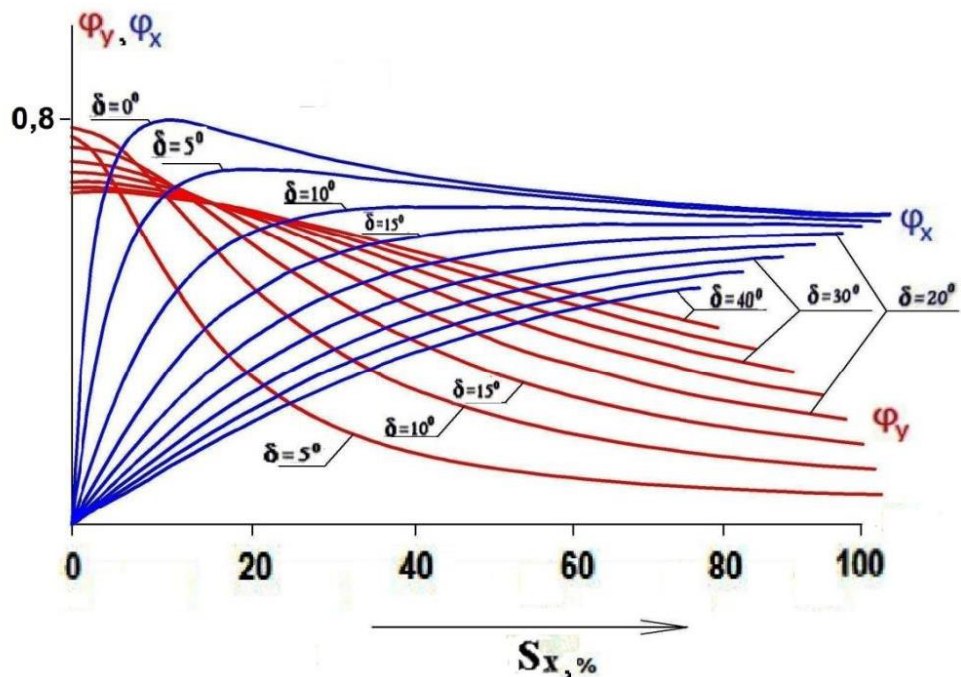


Рисунок 1.12. Залежність бічної та повздовжньої реакцій від ковзання для нешипованої шини [11]

У роботах науковців [12, 13] розглядалася поведінка нешипованої пневматичної шини на льоду за результатами випробувань на стенді з заморожуваним крижаним барабаном діаметром 1.6 м. Температура крижаного барабана підтримується в діапазоні не вище $-5\text{ }^{\circ}\text{C}$ шляхом обдування його охолодженим повітрям. Недоліком даного методу є неможливість проведення

випробувань шипованої шини, оскільки шпильки створюють крижану крихту на обмерзлій поверхні барабана. Основний акцент робився на виявлення оцінних параметрів зчепних властивостей шин автотранспортного засобу, які можна було б використовувати для проведення експертизи ДТП.

Аналізуючи ці роботи можна зробити наступні основні висновки:

- розроблена методика стендових випробувань шин легкових автомобілів дозволяє визначити їх зчепні властивості з обледенілою поверхнею, та розширює спектр випробувань на відповідність шин умовам експлуатації на обмерзлих дорожніх покриттях (погрішність вимірювання коефіцієнта зчеплення шин з льодом складає $\pm 4\%$);

- діапазон зміни коефіцієнта зчеплення шин з опорною поверхнею для втрамбованого снігу становить 0,1 - 0,25, а для обледенілої поверхні 0,08 - 0,15);

- у зимових шин коефіцієнт зчеплення на 20 - 30% вищий, ніж у всесезонних.

Голландський учений Расејка Н.В. підбирав спеціальні коефіцієнти K_i для конкретної моделі шини, нормального навантаження колеса і кута розвалу. За допомогою цих коефіцієнтів обчислювалися реакції опорної поверхні залежно від відведення та повздовжнього ковзання колеса: $R_x = f(S, K_i)$; $R_y = (\delta, K_y)$ [10].

Згідно опрацьованих наукових праць [12, 13, 14, 15] за темою магістерської роботи зроблено наступні висновки:

- Автомобільне колесо доцільно розглядати як механізм другого рангу, в якого силові та кінематичні співвідношення описуються по-різному. Опис силових співвідношень запропоновано вести за допомогою коефіцієнта трансформації k , а кінематичних - за допомогою передавального відношення i (привідний режим) або коефіцієнта відносного ковзання δ (гальмуючий режим).

- Процес гальмування автомобільного колеса в другому інтервалі зміни його коефіцієнта відносного ковзання δ нестійкий. Колесо в цьому випадку автоматично переходить до повного блокування (юз). Ефективне усунення

цього шкідливого явища можливе завдяки встановленню на автомобіль антиблокувальної системи.

- Проведені по запропонованій методиці розрахунки показали, що концепція про постійність уповільнення автомобіля впродовж всього часу гальмування не відтворює фізичну суть цього процесу.

- Дослідження принципів можливостей, застосованих в даний час АБС, показали, що системи, засновані на підтримці постійного рівня кутового уповільнення гальмуючого колеса, поступають системам, робота яких ґрунтується на принципі підтримки постійного відношення v/ω . Слід зазначити, що АБС цих двох типів все ж таки поступаються ідеальному, який відстежує на колесі максимум гальмівної сили.

- Дослідження розподілу енергії між гальмівним механізмом і плямою контакту його шини показало, що у разі екстреного гальмування автомобіля велика частина енергії розсівається в плямах контакту шин, а у випадку гальмування з АБС, велика частина енергії розсівається в гальмівних механізмах.

- Зчіпні якості шин з дорожніми покриттями необхідно оцінювати $\phi - S$ діаграмами, які несуть в собі найбільшу кількість інформації про кочення гальмуючого колеса по дорозі та характеристики тертя шин під час контакту з дорожнім покриттям.

- Для оцінки характеристик тертя шини з дорожнім покриттям необхідне визначення залежності коефіцієнта тертя від швидкості ковзання в ширшому діапазоні зміни швидкості. Будь-яка методика оцінки характеристики тертя повинна це враховувати.

Висновки

Проведений аналіз дозволяє зробити наступні висновки:

1. Випробування ефективності дії електронної системи контролю стійкості згідно правил ЄЕК ООН № 13-Н, проводяться на твердому покритті з високим коефіцієнтом зчеплення із застосуванням роботизованого керування на одному типі нешипованої шини.

2. Випробування ефективності дії ЕКС на покритті з низьким коефіцієнтом зчеплення не проводяться. Оскільки методику проведення випробувань, описану в правилах ЄЕК ООН № 13-Н неможливо застосувати для визначення ефективності дії ЕКС на автомобілях, оснащених шипованими шинами.

3. У науково технічній літературі дуже обмежена інформація про залежність коефіцієнта зчеплення від ковзання ($\phi - S$ діаграма) з відведенням для шипованої шини на слизькій поверхні.

4. Необхідно удосконалити методику визначення $\phi - S$ діаграм з відведенням для шипованих шин на поверхні вкритій льодом.

5. Необхідно обґрунтувати критерії та метод визначення ефективності дії ЕКС на слизькій поверхні, для автомобіля оснащеного шипованими шинами.

2. ВИЗНАЧЕННЯ ϕ - S ДІАГРАМ НА ЛЬОДУ, ДЛЯ АВТОМОБІЛЯ, ОСНАЩЕНОГО ШИПОВАНИМИ ШИНАМИ

2.1. Обґрунтування методики визначення ϕ - S діаграм з відведенням

Згідно проведеного аналізу в першому розділі було встановлено, що ϕ - S діаграми в повздовжньому напрямі для шипованих і нешипованих шин мають значні відмінності, які можуть впливати на ефективність дії системи АБС. З метою підвищення ефективності дії цієї системи, для автомобіля оснащеного шипованими шинами, алгоритм її роботи повинен бути побудований відповідно для роботи з такими рушіями.

З огляду на те, що система ЕКС використовує ті ж механізми гальмування, що і АБС, та за тим же принципом загальмовує колеса і підтримує їх ковзання, можна зробити припущення, що і ефективність дії системи ЕКС може залежати від форми ϕ - S діаграми.

У відкритих джерелах обмежено інформацію про ϕ - S діаграми на льоду для шипованих шин з відведенням. Ці діаграми для нешипованих шин визначалися тільки за допомогою стендового методу. Проте, на існуючих стендах неможливо випробувати шиповану шину, через те, що шпильки проти ковзання створюють крижану крихту на поверхні крижаного барабана, яка швидко відокремлюється, що змінює умови дослідження. Виходячи з цього, необхідна розробка методики визначення ϕ - S діаграм з відведенням для шипованої і нешипованої шини на льоду за допомогою дорожнього методу.

Вимоги до методики, яка пропонується у магістерській роботі:

- можливість визначення необхідних параметрів для побудови ϕ - S діаграм в повздовжньому та поперечному напрямках з відведенням;
- у випробуваннях повинне бути використане дорожнє покриття з суцільним шаром льоду відповідної товщини, що дозволяє випробовувати шиповані шини;

- випробування повинні бути відтворними та володіти прийнятною повторюваністю результатів;

- індивідуальні особливості випробувача не повинні робити істотного впливу на результати випробувань.

Розробка методики визначення φ - S діаграми з відведенням на льоду для шипованих та нешипованих шин дасть можливість визначати нові дані про зчепні властивості досліджуваних рушіїв.

В процесі роботи система ЕКС гальмування окремих коліс відбувається під час руху автомобіля. Необхідною умовою вивчення характеру взаємодії пневматичної шини з опорною поверхнею є побудова сумарної φ - S діаграми, яка відповідно є геометричною сумою коефіцієнтів зчеплення в повздовжньому та поперечному напрямках рис.2.1.

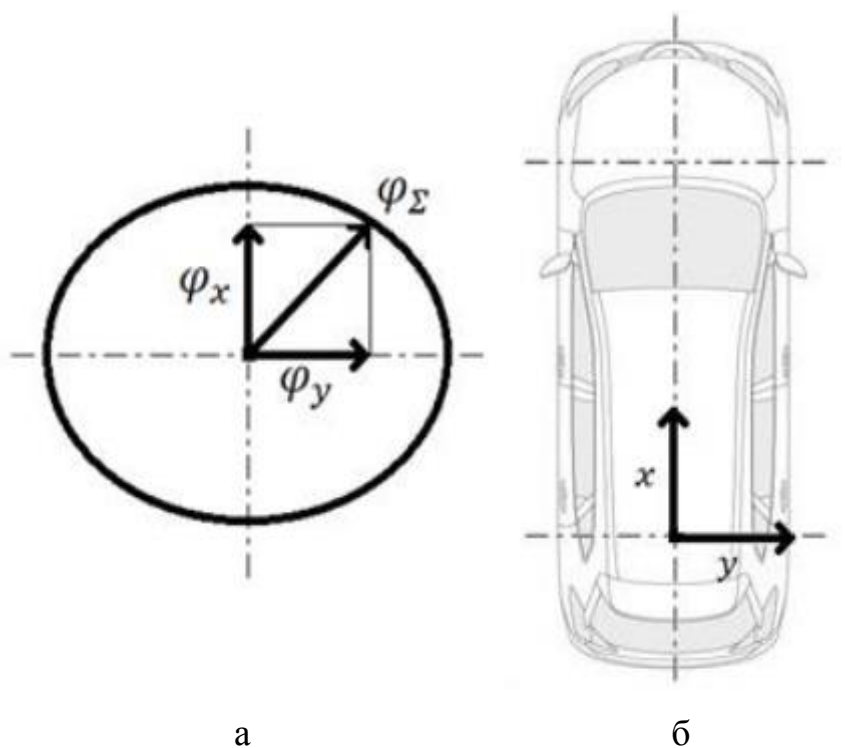


Рисунок 2.1. Схема коефіцієнтів зчеплення в повздовжньому та поперечному напрямках: а - еліпс зчеплення; б - система координат.

2.2. Визначення ϕ - S діаграм з відведенням на поверхні вкритій

льодом

Вимірювальні прилади, які використовуються в процесі проведення випробувань, повинні бути атестовані та відкалібровані. Під час досліджень вимірювальне устаткування дозволяло визначати: тривалість (t) з точністю до 0,01 с; шлях автомобіля (S) відповідно до 1%; швидкість руху задньої осі автомобіля (V_a) та кожного з коліс ($V_{\text{ПП}}$, $V_{\text{ПЛ}}$, $V_{\text{ЗП}}$, $V_{\text{ЗЛ}}$) - до 1,5%; кут повороту рульового керма (α) – до $0,1^\circ$; зусилля дії на орган управління робочою гальмівною системою (F_T) – до 3%; кутову швидкість автомобіля щодо трьох координатних осей (ω_x , ω_y , ω_z) - 10%; повздовжнє, поперечне і вертикальне прискорення автомобіля по трьох осях (J_x , J_y , J_z) – до 1%; масу, навантажень на колеса та маси баласту – до 0,5 кг; вимірювання лінійних розмірів – до 0,25 мм; кутів нахилу автомобіля за допомогою квадранта – до $30''$; тиску повітря в шинах – до 0,01 мПа.

У вказані погрішності включені неточності вимірювань, вимірювальних приладів і обробки результатів випробувань.

Як випробувальне покриття пропонується використовувати поверхню вкрити шаром криги. Для отримання адекватних результатів необхідно ретельно відстежувати за станом льоду, тому що він не є стабільним покриттям. Беручи до уваги досвід проведення подібних випробувань на льоду [15], необхідно підтримувати наступні показники: температура льоду не повинна відрізнятися на величину більше 4°C під час заїздів; температура повітря не повинна відрізнятися на величину більше 5°C ; швидкість вітру будь-якого напрямку не повинна бути більше 5 м/с; сонячне освітлення повинно бути стабільним; опади не допускаються.

Випробувальні заїзди повинні проводитися в прямому та зворотному напрямі.

У разі виходу автомобіля за розмічений коридор випробувальної ділянки результати заїзду не приймаються до уваги.

Забороняється проводити випробування в умовах недостатньої видимості під час дощу, снігопаду, туману, а також з видимістю менше 300 м.

Перед проведенням заїздів лід повинен бути очищений від снігу, піску та інших предметів.

Для визначення статичних навантажень на всі колеса автомобіль проходить процедуру зважування.

Вимірвальне і реєструюче устаткування повинне бути надійно змонтоване на автомобілі без можливості самовільних переміщень.

Автомобіль повинен пройти обкатку не менше 2000 км. Шини автомобіля повинні мати пробіг не менше 500 км. Тиск в шинах повинен бути виставлене номінальний відповідно до інструкції з експлуатації автомобіля (допускається відхилення $\pm 0,005$ МПа).

На шини автомобіля повинні бути нанесені контрольні мітки контрастного кольору шириною близько 10 см для візуалізації процесів, що відбуваються з колесами автомобіля рис.2.2.



Рисунок 2.2. Контрольні мітки для візуалізації процесів, що відбуваються з колесом

До кузова повинен бути надійно прикріплений баласт, вільне переміщення якого не допускається. Перед початком випробувальних заїздів агрегати трансмісії і ходової частини автомобіля повинні бути прогріті до робочих температур короткочасним пробігом.

Для проведення випробувань повинен бути підготовлений льодовий майданчик прямокутної форми довжиною не менше 300 м та шириною відповідно 10 м. і крижаний круг середнім радіусом 30 м. Лід повинен заливатися водою температурою $+10 \pm 5^\circ\text{C}$ рівномірно на втрамбований сніг товщиною не менше 5 см. Заливання здійснюється необхідне число разів для досягнення товщини льоду не менше 2 см. Перерва між послідовним нанесенням шарів води повинна бути не менше 3 годин.

Поверхня з льоду повинна мати однорідну структуру, рівномірно покривати поверхню майданчика з ухилом не більше 1%.

Безпосередньо перед випробуваннями у разі потреби здійснюється прибирання крихти льоду та снігу за допомогою автомобіля, обладнаного щітками. Пластиковими конусами розмічається випробувальна ділянка необхідної ширини для конкретного випробувального заїзду.

Для подальшого детального аналізу процесів, що відбуваються з автомобілем, необхідно встановити устаткування для відео фіксації випробувальних заїздів з обох боків автомобіля. Устаткування встановлюється на відстані не менше 10 м від розміченої випробувальної ділянки за спеціальною огорожею на висоті 1,5 м. Роздільна здатність відеокамери не нижчий 1280x720 з частотою кадрів 39 - 42 Гц.

Для визначення $\phi - S$ діаграми в повздовжньому та поперечному виконано два види випробувань: № 1 «гальмування одним заднім колесом»; № 2 «гальмування задньою віссю в повороті».

Випробування № 1 «гальмування одним заднім колесом» призначено для визначення коефіцієнта зчеплення в повздовжньому напрямі (ϕ_x). З огляду на те, що на керовану вісь сильний вплив роблять кути встановлення коліс, всі розрахунки проводяться щодо задньої осі автомобіля. Основа методики

проведення випробування полягає у вимірюванні параметра повздовжнього прискорення кузова автомобіля над задньою віссю J_x у всьому діапазоні повздовжніх та поперечних ковзань (S_x, S_y).

Під час випробувань № 1 автомобіль рухається з початковою швидкістю 30 ± 2 км/год на нейтральній передачі. В'їжджаючи в розмічену ділянку виконується гальмування з різним зусиллям дії на орган управління робочої гальмівної системи, необхідним для отримання всього спектру повздовжніх та поперечних ковзань (S_x, S_y). Гальмування продовжується до повної зупинки. За необхідності допускається відключення підсилювача гальмівного приводу. При цьому кермо повинне знаходитися в положенні, яке забезпечує прямолінійний рух автомобіля.

Випробування є серією з 40 гальмувань, виконаних в прямому та зворотному напрямі, для правого і лівого задніх коліс, а також для шипованої та нешипованої шини.

При випробуванні №1 визначаємо наступні залежності: швидкості руху задньої осі автомобіля від часу; кутової швидкості заднього колеса від часу; повздовжнього та поперечного прискорення задньої осі автомобіля від часу; швидкості рискання автомобіля від часу.

Випробування № 2 «гальмування задньою віссю в повороті» призначено для визначення коефіцієнта зчеплення в поперечному напрямі (ϕ_y). У основі маневру лежить вимірювання параметра поперечного прискорення кузова автомобіля над задньою віссю (J_x) у всьому діапазоні повздовжніх і поперечних ковзань (S_x, S_y). В процесі цих випробувань автомобіль рухається в повороті з середнім радіусом 30 метрів та швидкістю 30 ± 10 км/год. В'їжджаючи на розмічену ділянку виконується гальмування з різним зусиллям дії на орган управління робочої гальмівної системи, необхідним для отримання всього спектру повздовжніх та поперечних ковзань. Під час проведення випробування допускається підтримка швидкості автомобіля шляхом одночасної дії на орган управління робочою гальмівною системою та педалі акселератора. Допускається в перебігу одного заїзду виконувати декілька таких циклів

гальмування. За необхідності допускається відключення підсилювача гальмівного приводу. В процесі проведення випробування можлива будь-яка дія на кермо автомобіля.

Випробування № 2 також є серією з 40 випробувальних заїздів, виконаних в прямому та зворотному напрямках, для шипованих і нешипованих шин.

2.2. Обробка даних, отриманих під час випробувальних заїздів

За параметрами, отриманими під час випробувань № 1 побудовано графіки зміни J_x , J_y , V_a , δ , $V_{зп}$, $V_{зл}$, від часу t , та визначено ковзання (S_x , S_y) загальмованого колеса з виразів:

$$S_x = \frac{V_a \cos \delta - \omega r_{кк}}{V_a}, \quad (2.1)$$

$$S_y = \sin \delta, \quad (2.2)$$

де: δ - кут відведення, радіани;

V_a - модуль вектора швидкості автомобіля щодо опорної поверхні, м/с;

ω - кутова швидкість загальмованого колеса, c^{-1} ;

$r_{кк}$ - радіус кочення колеса у вільному режимі, м.

Коефіцієнт зчеплення (φ_x) визначається як відношення повздовжньої гальмівної сили (R_x), реалізованої в плямі контакту загальмованого колеса, до динамічного вертикального навантаження на внутрішнє (при повороті) колесо задньої осі ($R_{z2дин.внутр.}$):

$$\varphi_x = \frac{R_x}{R_{z2дин.внутр.}} \quad (2.3)$$

Гальмівна сила (R_x) розраховується на підставі уповільнення автомобіля з урахуванням величини опору коченню незагальмованої осі, яка складає 0,015

динамічного навантаження на привідну вісь та 0,01 на ведену. Якщо автомобіль передньопривідний, то:

$$R_x = J_x m_a - 0,015 R_{z1\text{дин.}} - 0,01 R_{z2\text{дин.нар.}} \quad (2.4)$$

Для задньопривідного автомобіля:

$$R_x = J_x m_a - 0,01 R_{z1\text{дин.}} - 0,015 R_{z2\text{дин.нар.}} \quad (2.5)$$

У випадку повнопривідного автомобіля:

$$R_x = J_x m_a - 0,015 R_{z1\text{дин.}} - 0,015 R_{z2\text{дин.нар.}} \quad (2.6)$$

де: J_x - поздовжнє прискорення кузова над задньою віссю автомобіля, м/с^2 ;

m_a - маса автомобіля, кг;

$R_{z1\text{дин.}}$ - динамічне вертикальне навантаження на передню вісь, Н;

$R_{z2\text{дин.нар.}}$ - динамічне вертикальне навантаження на зовнішнє колесо задньої осі під час повороту, Н.

Динамічне вертикальне навантаження на загальмовану вісь або колесо розраховується з врахуванням їх довантаження чи розвантаження в процесі гальмування колеса. Для передньої осі застосовуємо вираз:

$$R_{z1\text{дин.}} = \frac{m_a g \left(\frac{R_{z1\text{стат.}}}{R_{z1\text{стат.}} + R_{z2\text{стат.}}} L + \frac{h_g J_x}{g} \right)}{L} \quad (2.7)$$

Відповідно для задньої осі:

$$R_{z2\text{дин.}} = \frac{m_a g \left(\frac{R_{z2\text{стат.}}}{R_{z1\text{стат.}} + R_{z2\text{стат.}}} L - \frac{h_g J_x}{g} \right)}{L} \quad (2.8)$$

Під час повороту динамічне вертикальне навантаження на зовнішнє колесо задньої осі визначається з виразу:

$$R_{z2\text{дин.нар.}} = \frac{R_{z2\text{дин.}} \left(\frac{R_{z2\text{стат.нар.}}}{R_{z1\text{стат.внутр.}} + R_{z2\text{стат.нар.}}} B + \frac{h_g J_y}{g} \right)}{B} \quad (2.9)$$

Відповідно на внутрішнє колесо:

$$R_{z2\text{дин.внутр.}} = \frac{R_{z2\text{дин.}} \left(\frac{R_{z2\text{стат.внутр.}}}{R_{z1\text{стат.внутр.}} + R_{z2\text{стат.нар.}}} B - \frac{h_g J_y}{g} \right)}{B}, \quad (2.10)$$

де: h_g - висота центру мас автомобіля, м.;

L - база автомобіля, м.;

B - колія задньої осі автомобіля, м.;

J_x, J_y - повздовжнє та поперечне прискорення кузова над задньою віссю автомобіля, м/с²;

$R_{z1\text{стат.}}, R_{z2\text{стат.}}$ - статичне вертикальне навантаження на передню та задню осі, Н;

$R_{z1\text{стат.нар.}}, R_{z2\text{стат.внутр.}}$ - статичне вертикальне навантаження на зовнішнє та внутрішнє колеса задньої осі під час повороту, Н;

$R_{z1\text{дин.}}, R_{z2\text{дин.}}$ - динамічне вертикальне навантаження на передню та задню осі, Н;

В результаті утворюється масив даних коефіцієнта зчеплення в повздовжньому напрямі (φ_x) та відносних ковзань в повздовжньому та поперечному напрямках. За отриманими даними будуються залежності $\varphi_x(S_x, S_y)$.

Аналогічно за даними, отриманими під час випробувань № 2 будуються $J_x, J_y, V_a, \delta, V_{зп}, V_{зл}$, від часу t , та за формулами (2.1), (2.2) розраховуються значення ковзання коліс в повздовжньому і поперечному напрямках та будуються таблиці. Коефіцієнт зчеплення в поперечному напрямку визначається як відношення бічної сили, реалізованої в плямі контакту коліс, до динамічного вертикального навантаження на задню вісь, тобто з виразу:

$$\varphi_y = \frac{R_y}{R_{z2\text{дин.}}} \quad (2.11)$$

Бічна сила (R_y) розраховується на підставі бічного прискорення з урахуванням перерозподілу навантажень під час гальмування задньою віссю. Відповідно до рекомендацій [16] для передньопривідного автомобіля:

$$R_y = J_y m_a - 0,015 R_{z1\text{дин.}} \quad (2.12)$$

Якщо автомобіль задньопривідний:

$$R_y = J_y m_a - 0,01 R_{z1\text{дин.}} \quad (2.13)$$

де: J_y - поперечне прискорення кузова над задньою віссю автомобіля, м/с²;

m_a - маса автомобіля, кг;

$R_{z1\text{дин.}}$ - динамічне вертикальне навантаження на передню вісь, Н.

Динамічне вертикальне навантаження на загальмовувану вісь розраховується з врахуванням довантаження або розвантаження в процесі гальмування задньої осі відповідно до формул (2.7) та (2.8). У інтервалі гальмування аналізуються ділянки, де $S_x, S_y = \text{const}$ (допуск $\pm 1\%$) впродовж не менше $0,3\text{с}$.

В результаті утворюється масив даних коефіцієнта зчеплення в поздовжньому напрямі (φ_x) і відносних ковзань в поздовжньому та поперечному напрямках. У відповідності до отриманими даними побудовано поверхні $\varphi_y(S_x, S_y)$. На основі $\varphi - S$ діаграм в поздовжньому та поперечному напрямках побудовано сумарну $\varphi - S$ діаграму нешипованої і шипованої шини (Див. рис. 2.1.а). Залежність (φ_x, φ_y) від ковзання колеса в поздовжньому та поперечному напрямках розраховується за формулою:

$$\varphi_{\Sigma}(S_x, S_y) = \sqrt{\varphi_x^2(S_x, S_y) + \varphi_y^2(S_x, S_y)} \quad , \quad (2.14)$$

де: φ_x, φ_y - коефіцієнти зчеплення в поздовжньому та поперечному напрямках;

S_x, S_y – поздовжнє та поперечне ковзання колеса, %.

Висновки

1. Застосована методика дозволяє отримати $\varphi - S$ діаграми на поверхні вкритій льодом з відведенням за допомогою полігонних випробувань на автомобілях з ошипованими шинами, без застосування спеціальних шинних тестерів.

2. Отримані результати під час випробувань, будуть використані в процесі удосконалення систем активної безпеки.

3. ПРОГРАМА І МЕТОДИКА ЕКСПЕРИМЕНТАЛЬНИХ ДОСЛІДЖЕНЬ

3.1. Мета і завдання експериментальних досліджень

Метою експериментальних досліджень є:

- перевірка працездатності методики отримання залежностей $\varphi - S$ діаграм на поверхні вкритій льодом в повздовжньому та поперечному напрямках з відведенням;
- перевірка працездатності та адекватності методу визначення ефективності дії систем ЕКС.

Завданнями експериментального дослідження є:

- підготовка експериментального автомобіля, оснащення його шинами необхідного типу;
- установка та налаштування вимірювальної і реєструючої апаратури, підготовка випробувального устаткування;
- проведення експериментальних заїздів;
- обробка та аналіз результатів випробувань.

Як об'єкт випробувань використовувався легковий повнопривідний автомобіль марки Nissan моделі X-Trail III (рис. 3.1), оснащений сучасною системою ЕКС. Компанія Nissan для позначення даної системи використовує торгове найменування Vehicle Dynamic Control (VDC), Основні характеристики випробувального автомобіля представлені в керівництві по експлуатації Nissan X-Trail III [17] і на сайті виробника [18].

В процесі проведення випробувань на автомобіль встановлювалися два типи зимових шин: з шипами та нешиповані шини марки Yokohama IceGUARD Stud iG55 (рис. 3.2). Обидві шини пройшли повний технологічний цикл виробництва, мають однаковий номер партії, конструкцію, склад шини і малюнок протектора, але, один комплект був знятий з лінії ошиповки для проведення випробувань. Таким чином, відмінність шин полягає тільки в

наявність шпильок проти ковзання. Цим досягається виключення інших чинників в процесі визначення ступеня вплив шпильок проти ковзання на загальний процес взаємодії шин з опорною поверхнею. Основні технічні характеристики шин, що використовуються, представлені в таблиці 3.1.



Рисунок 3.1. Випробувальний автомобіль Nissan X-Trail III



а)

б)

Рисунок 3.2. Зимові шини марки Yokohama IceGUARD Stud iG55: а) з шипами; б) без щипів

Таблиця 3.1 Основні технічні характеристики шин [19]

Тип	Зимові шиповані	Зимові нешиповані
Марка	Yokohama	Yokohama
Модель	IceGUARD Stud iG55	IceGUARD Stud iG55
Розмірність	225/55 R18	225/55 R18
Індекс навантаження	102 (850 кг)	102 (850 кг)
Індекс швидкості	T (190 км/ч)	T (190 км/ч)
Число шпильок	128	-
Маса колісного диску з шиною, кг	13,4	13,2
Стан	Нове	Нове
Маса шини	13,2 кг	13 кг

Для візуалізації процесів роботи ЕКС на всі шини білою фарбою були нанесені контрольні мітки, представлені на рис. 2.2.

Для забезпечення загальмовування окремо передньої або задньої осі автомобіля під час проведення випробувань застосовувалися спеціальні затискачі для перетискання гальмівних шлангів (мал. 3.3).



а)

б)

Рисунок 3.3. Затискачі для перекривання гальмівних шлангів (а) і їх встановлення (б)

3.2. Обладнання для вимірювання параметрів

Для вимірювання досліджуваних параметрів на автомобіль встановлено наступну вимірювальну та реєструючу апаратуру Німецького виробництва: виносні сенсори частоти обертання коліс WPT фірми KISTLER; сенсор зусилля натиснення на гальмівну педаль CPFTA фірми KISTLER; універсальна вимірювальна система збору та обробки даних CS 1016 FAMOS Online фірми IMC; сенсори прискорень та кутових швидкостей Tri-Axial Navigational Sensor (TANS) фірми KISTLER; динамометричне вимірювальне кермо MEASUREMENT STEERING WHEEL (MSW) фірми KISTLER; GPS антена фірми IMC. Також використовувалася система зчитування параметрів руху автомобіля за допомогою бортової комунікаційної шини передачі даних CAN.

Живлення устаткування здійснювалося від бортової мережі автомобіля через блок розподілу Small 12V Power Distributor Box.

Розміщення вимірювальної та реєструючої апаратури відображено на рис. 3.4. Оскільки застосовувався широкий спектр апаратури, на рис. 3.5. показано схему її з'єднання у вимірювальний комплекс. Окрема робота була проведена по реєстрації даних, отриманих від штатних сенсорів автомобіля через бортову комунікаційну шину CAN. Для цього був задіяний окремий «порт» блоку реєстрації та аналізу даних. З огляду на те, що робот для керма не може бути змонтований при встановленому динамометричному вимірювальному кермі MSW, а інформація про поворот необхідна під час виконання маневру «усічена синусоїда». то інформацію отримували з штатного сенсора, встановленого на автомобілі за допомогою з'єднання апаратури з бортовою комунікаційною шиною CAN автомобіля.

Кутова швидкість коліс вимірювалася зовнішніми виносними сенсорами WPT фірми K18TBEA [20]. Рухома частина сенсора жорстко фіксуються на кріпильних гайках колеса. Відповідно нерухома частина кріпиться до кузова автомобіля спеціальними вакуумними кронштейнами через телескопічні штанги, які дозволяють компенсувати вертикальні переміщення коліс щодо

кузова в межах ходу підвіски, а також поворот передніх керованих коліс під час маневрування автомобіля.

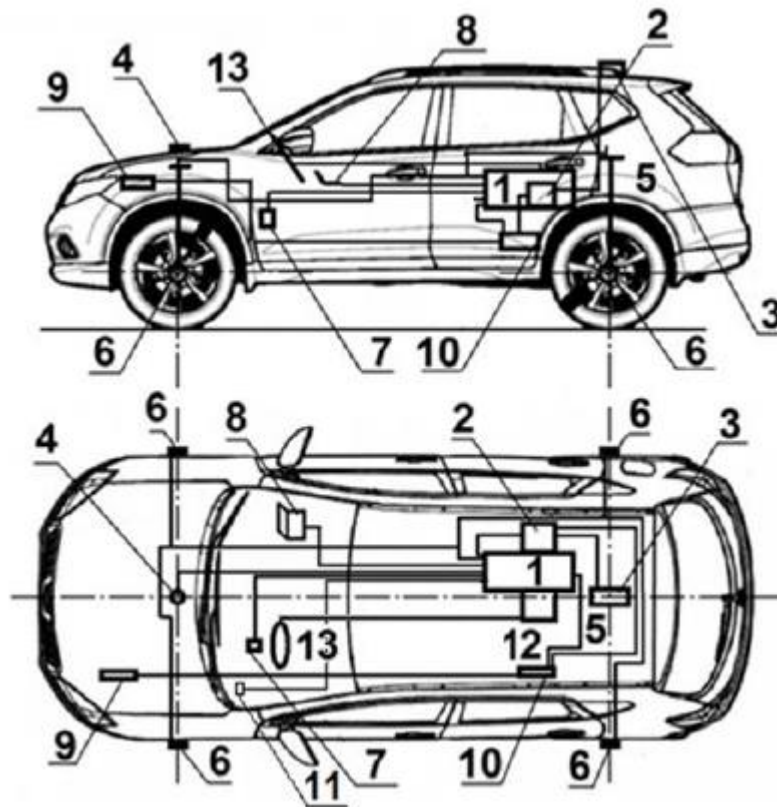


Рисунок 3.4. Схема розміщення на автомобілі вимірювальної та реєструючої апаратури:

1 - компактна мобільна система збору і обробки даних CS 1016 FAMOS Online; 2 - CDS-GPS-процесор; 3 - GPS-антенна CDS-GPS; 4 - GPS-антенна IMC; 5 - сенсор прискорень і кутових швидкостей TANS; 6 - виносний сенсор кутової швидкості колеса WPT; 7 - сенсор зусилля натиснення на педаль гальма CPFTA; 8 - ноутбук з програмним забезпеченням IMC; 9 - акумуляторна батарея автомобіля; 10 - блок розподілу живлення Small 12 V Power Distributor Box; 11 - система реєстрації даних, отриманих через бортову комунікаційну шину передачі даних CAN; 12 - MSW процесор; 13 - динамометричне вимірювальне кермо MSW.

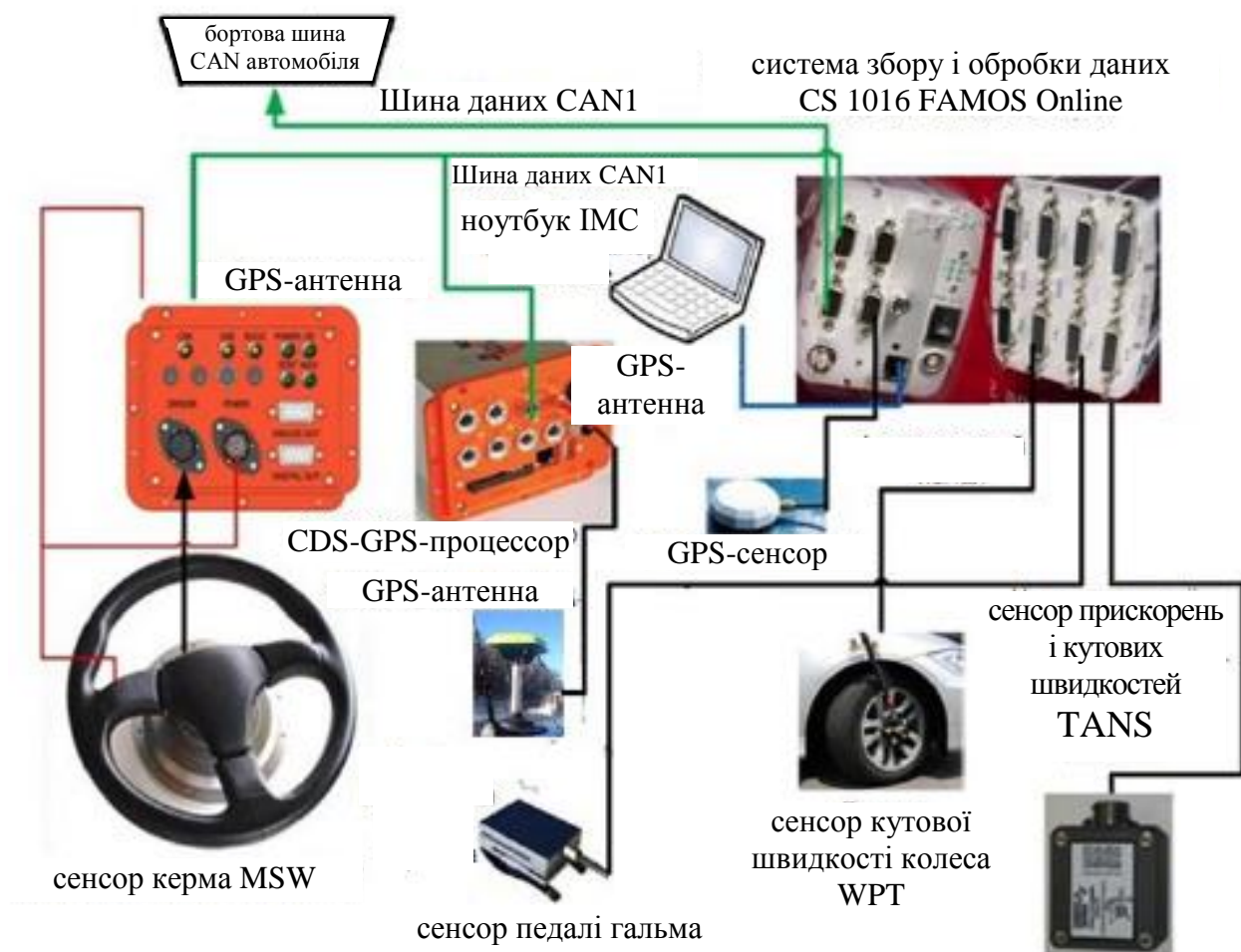


Рисунок 3.5. Схема з'єднань вимірювального та реєструючого обладнання

Дві антени GPS/ГЛОНАСС використовувалися для визначення географічних координат двох точок автомобіля. Антена №1 встановлювалася на капот в районі центру передньої осі автомобіля, антена №2 закріплено на дах, в районі центру задньої осі. Обидві антени синхронізувалися в мобільній системі збору та обробки даних IMC CS 1016 FAMOS ONLINE. Антена № 1 підключена до з'єднання «ANT» системи IMC, одночасно антена № 2 підключалася до реєстратора даних CDS-GPS CLOGMA, де сигнал оброблявся, перетворювався в цифровий та по шині CAN надходив у відповідний роз'єм «CAN 2» на корпусі системи збору та обробки даних IMC.

На штатне кермо автомобіля встановлюються рульове колесо MSW та його вимірювальний модуль за допомогою адаптера з затискачами (рис. 3.6). Цей пристрій складається з ротора і статора обладнаного тензометричними

сенсорами, які визначають зусилля на кермі, а також імпульсного сенсора для визначення кута повороту. Інформація з модуля MSW перетворювалася в цифровий сигнал та по шині CAN передавалася реєстратору даних CDS-GPS CLOGMA звідки він разом з цифровим сигналом антени № 2 передавався на відповідний роз'єм «CAN 2» на корпусі системи збору та обробки даних ІМС.



а)

б)

Рисунок 3.6. Вимірювальний пристрій MSW/S Measurement Steering Wheel: а - процесорний модуль; б - вимірювальний модуль та кермо MSW

Вимірювання зусилля дії на педаль робочої гальмівної системи під час гальмування здійснювалось за допомогою сенсора СРРТА. Його закріплено на педаль за допомогою спеціального затискача та з'єднано кабелем з системою ІМС, яка передавала покази сенсора в режимі реального часу на монітор комп'ютера типу «ноутбук» з програмним забезпеченням ІМС DEVICES 2.7R3.

3.3. Визначення вагових та геометричних характеристик автомобіля

Після встановлення на автомобіль вимірювального та реєструючого устаткування за допомогою електронної ваги ВПП-2-1 [21] були виміряні нормальні реакції на колесах та визначені координати центру мас. Дана методика передбачає визначення навантажень на колеса в горизонтальному

положенні (кут нахилу автомобіля $\beta=0^\circ$) і в трьох похилих положеннях автомобіля, отриманих шляхом підйому задньої осі на кути 6° , 7° , 8° . Ці кути вимірюються за допомогою оптичного квадранта КО-3ОМ.

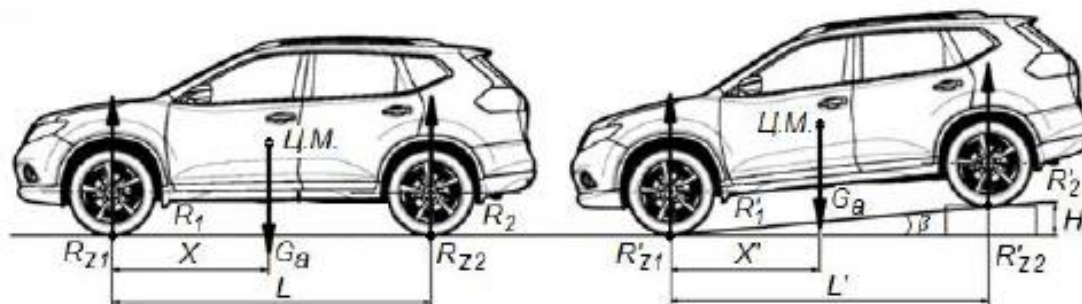


Рисунок 3.7. Розрахункова схема для визначення координат центру мас

В процесі цих вимірювань за допомогою штангенрейсмусу 100-1000 були визначені необхідні надалі величини статичних радіусів коліс автомобіля. База автомобіля вимірювалася за допомогою рулетки ЗПКЗ-10АУТ/1.

Відповідно до вдосконаленої методики, яка враховує різницю статичних радіусів передніх та задніх коліс, розраховувалася висота центру мас (H) для трьох похилих положень:

$$h_g = r_c + \frac{\Delta m L}{m_a \operatorname{tg} \alpha} , \quad (3.1)$$

де: r_c - статичний радіус коліс, мм;

L - база автомобіля, мм;

Δm - різниця між навантаженнями на передню вісь в горизонтальному та похилому положеннях автомобіля, кг;

m_a - маса автомобіля, кг;

$\operatorname{tg} \alpha$ - значення тангенсу кута нахилу автомобіля.

Аналізуючи формулу (3.1) бачимо, що вона не враховує різницю статичних радіусів коліс передньої та задньої осей, яка виникає через різницю тиску в шинах і навантажень на осі. Виходячи загальні фізичні залежності, ця формула була допрацьована з урахуванням різниці радіусів коліс передньої та задньої осей:

$$h_g = r_{c\text{cp}} + \frac{\Delta m L}{m_a \operatorname{tg} \alpha} , \quad (3.2)$$

$$r_{c\text{cp}} = r_{c1} + \frac{m_{a2}}{m_a} (r_{c2} - r_{c1}) , \quad (3.3)$$

де: $r_{c\text{cp}}$ - середній статичний радіус коліс автомобіля в поперечній площині, що проходить через центр мас, мм;

r_{c1}, r_{c2} - відповідно статичні радіуси коліс передньої та задньої осі, мм;

m_{a2} - навантаження (маса) на задню вісь в горизонтальному положенні, кг;

Для виконання випробувальної програми були задіяні: водій - маса тіла 75 кг та пасажир – дослідник - маса тіла 92 кг.

Результати розрахунку висоти центру мас за формулою (3.2) представлені в таблиці 3.2.

Таблиця 3.2 Висота центру мас випробувального автомобіля

Стан Ухилу	α	$\operatorname{tg} \alpha$	Δm	h_q
1	$\alpha_1 = (\alpha_{1\text{КВ}} - \alpha_{\text{КВ}}) = 9^\circ 26' - 3^\circ 29' = 5^\circ 97'$	0,1045	20 кг	645,2 мм
2	$\alpha_2 = (\alpha_{2\text{КВ}} - \alpha_{\text{КВ}}) = 10^\circ 31' - 3^\circ 29' = 7^\circ$	0,1234	24 кг	650,2 мм
3	$\alpha_3 = (\alpha_{3\text{КВ}} - \alpha_{\text{КВ}}) = 11^\circ 28' - 3^\circ 29' = 7^\circ 9'$	0,1402	27,5 кг	652,9 мм
Середнє арифметичне значення висоти центру мас:				650 мм

За остаточний результат маси автомобіля приймається середнє арифметичне чотирьох набутих значень відповідно до протоколу:

$$m_a = (1673 + 1672,5 + 1672 + 1673)/4 = 1670 \text{ кг.}$$

Розподіл навантаження по колесах та загальна маса автомобіля з експертами-випробувачами склала: переднє ліве колесо - 479,5 кг; переднє праве колесо - 460 кг; передня вісь - 939,5 кг; заднє ліве колесо - 371 кг; заднє праве колесо - 362,5 кг; задня вісь - 733,5 кг; загальна маса автомобіля - 1670 кг.

Для збереження вагових характеристик автомобіля під час випробувань рівень палива в баку підтримувався в діапазоні 20...30 л.

3.4. Метод оцінки ефективності дії системи ЕКС на льоду

В результаті аналізу, проведеного в першому розділі, було встановлено, що в даний час в Україні окремі правила відносно керованості та стійкості автомобілів категорії М1, К1, скасувалися. Згідно Технічному регламенту митного союзу (ТР ТС 018/2011) [22] випробування автомобіля на стійкість зводиться до визначення ефективності дії системи ЕКС за допомогою правил ЄЕК ООН №13Н-00 [1]. Ці Правила включають частину глобальних технічних правил (ГТП) №8 [23]. Згідно яких, ефективність дії системи ЕКС визначається за наслідками виконання маневру «усічена синусоїда» із застосуванням рульового робота шляхом вимірювання швидкості ризику через певні інтервали часу після завершення повороту керма. Недоліком такого методу є вузька область застосування. Метод, запропонований в ГТП №8, розроблений для випробувань автомобіля на опорній поверхні з високим коефіцієнтом зчеплення. Проте, очевидно, що втрата стійкості та керованості автомобіля більш вірогідна на поверхні з низьким коефіцієнтом зчеплення (втрамбований сніг, лід). Таким чином, необхідна розробка методики та критерію оцінки ефективності дії ЕКС, що дозволяє проводити випробування на опорних поверхнях з низьким коефіцієнтом зчеплення.

Ошипування протектора шини також може впливати на ефективність дії ЕКС, оскільки змінюється зчеплення колеса в повздовжньому та поперечному напрямі залежно від прослизання колеса. Методика випробувань, вказана в правилах ЄЕК ООН №13Н - 00 та ГТП №8, відповіді на це питання не дає.

До методу оцінки ефективності дії системи ЕКС, що застосовано у магістерській роботі, були сформульовані наступні вимоги:

- можливість визначення необхідних параметрів для розрахунку критерію;
- можливість оцінювати ефективність на різних покриттях з низьким коефіцієнтом зчеплення;

- у випробуваннях повинне бути використане дорожнє покриття, що дозволяє випробовувати шиповані шини;

- індивідуальні особливості випробувача не повинні робити впливу на результати випробувань.

Як випробувальне покриття пропонується використовувати крижану поверхню. Не дивлячись на те, що лід не є стабільним покриттям, можливе отримання адекватних результатів випробувань. Необхідно ретельно відстежувати температуру та стан крижаного покриття від одного випробувального заїзду до іншого.

За основу методу оцінки ефективності дії ЕКС, що застосовано у роботі, вирішено використовувати методику, описану в Правилах ЄЕК ООН №13Н - 00.

Випробувальний маневр виконувався у вигляді «Усіченої синусоїди», виконуваний за допомогою рульового робота, але із зміненими параметрами повороту керма та швидкості руху автомобіля.

Завдяки проведенню попередніх випробувань експериментальним шляхом були визначені оптимальні значення параметрів руху автомобіля та налаштування рульового робота.

Швидкість виконання маневру «усічена синусоїда на льоду» була зменшена до 45 ± 2 км/год. Кут повороту керма рульовим роботом визначається за формулою: $\alpha' = 3,3A'$, де A' кут повороту керма за максимально можливого бічного прискорення при русі автомобіля без ковзання на швидкості 45 км/год.

Розглядаючи поведінку випробовуваного автомобіля в процесі маневру «усічена синусоїда» на покритті з високим коефіцієнтом зчеплення, було встановлено, що втрата стійкості та керованості більш вірогідна в завершальній фазі маневру. Тому на завершальній фазі вимірюють показник кутової швидкості автомобіля щодо вертикальної осі (ω_z) по методиці Правил ЄЕК ООН №13Н - 00.

В процесі виконання маневру «усічена синусоїда на льоду» втрата керованості та стійкості може виникнути у будь-який момент часу. Виходячи з

цього, було вирішено розбити маневр на 6 характерних ділянок та для кожного оцінювати ефективність дії системи ЕКС (рис. 3.8). На першій ділянці більш вірогідний знос автомобіля, на другому і подальших можливий знос та занесення автомобіля.

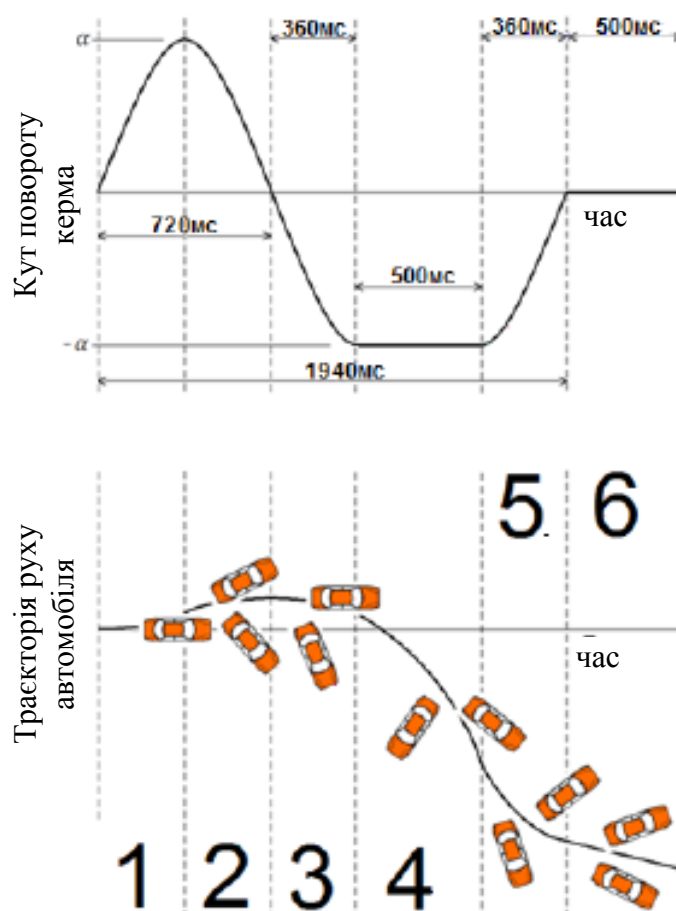


Рисунок 3.8. Приклади можливої втрати стійкості та керованості автомобіля на ділянках під час виконання маневру «усічена синусоїда»

Як оцінний критерій використовують кутову швидкість автомобіля щодо вертикальної осі (ω_z). В нашому випадку це неможливо, оскільки на кожній подальшій ділянці кутова швидкість залежатиме від спрацьовування системи на попередніх ділянках. Також неможливо використовувати умову зсуву центру мас автомобіля щодо первинного прямолінійного курсу, яка повинна складати не менше 1,83 м. Виходячи з цього, вирішено використовувати значення середнього кутового прискорення автомобіля щодо вертикальної осі $\varepsilon_{z\text{cp}i}$ на ділянці заїзду з рульовим роботом:

$$\varepsilon_{z \text{ ср } i} = \frac{\int_0^{t_{yч}} \varepsilon_{z i}(t) dt}{t_{yч}}, \quad (3.4)$$

$$\varepsilon_{z i} = \frac{d\omega_{z i}}{dt}, \quad (3.5)$$

де: ω_z - кутова швидкість автомобіля щодо вертикальної осі, рад/с;

ε_z - кутове прискорення автомобіля щодо вертикальної осі, рад/с²;

$\varepsilon_{z \text{ ср}}$ - середнє кутове прискорення автомобіля щодо вертикальної осі, рад/с²;

$t_{yч}$ - час ділянки, с.

Очевидно, що, чим швидше і адекватніше автомобіль реагує на зміну кута повороту керма, тим інтенсивніше змінюється його кутова швидкість щодо вертикальної осі (ω_z). Система ЕКС може впливати на гальмівні механізми автомобіля та створювати розвертаючий момент щодо вертикальної осі, тим самим впливаючи на кутову швидкість автомобіля та кутове прискорення.

Для визначення ефективності дії системи ЕКС середнє значення кутового прискорення автомобіля щодо вертикальної осі ($\varepsilon_{z \text{ ср}}$) на ділянці заїзду з рульовим роботом порівнюється із значенням, що ідеалізується ($\varepsilon_{z \text{ ид.ср}}$). Чим ближче значення середнього реального та середнього ідеального кутового прискорення, тим ефективніше робота системи ЕКС на ділянці маневру «усічена синусоїда».

Ідеальні кутове прискорення та кутова швидкість є характеристиками, які можливі за наступних умов:

- автомобіль має абсолютно жорсткий кузов, ідеальну підвіску;
- автомобіль не має люфтів в рульовому та інших механізмах;
- автомобіль рухається без відведень коліс з малою швидкістю.

Значення середнього кутового прискорення автомобіля, яке ідеалізується, на ділянці щодо вертикальної осі ($\varepsilon_{i \text{ ид.ср}}$) визначається з формул:

$$\varepsilon_{i z \text{ ср ид}} = \frac{\int_0^{t_{iyч}} \varepsilon_{i z \text{ ид}}(t) dt}{t_{iyч}}, \quad (3.6)$$

$$\varepsilon_{z \text{ ид}} = \frac{d\omega_{z \text{ ид}}}{dt} \quad (3.7)$$

Потрібно кутове прискорення автомобіля визначаємо з виразу:

$$\omega_{z \text{ ид}} = \frac{V_a}{R} \quad (3.8)$$

де: V_a – модуль вектора швидкості автомобіля відносно вертикальної осі, м/с;

R – радіус повороту задньої осі автомобіля, м.

Радіус траєкторії руху центру задньої осі автомобіля визначається з врахуванням кута повороту керма (α) під час маневру «усічена синусоїда» визначається за формулою:

$$R = \frac{L}{\text{tg} \frac{\alpha}{U_{py}}} \quad (3.9)$$

де: L – база автомобіля, м;

α – кута повороту керма під час маневру «усічена синусоїда», град;

U_{py} – передавальне число рульового управління.

Різницю між реальним та ідеальним прискоренням на ділянках маневрування (Δ) визначаємо з виразів:

для шипованих шин

$$\Delta_{\text{ш икл}} = \varepsilon_{z \text{ ид ср і}} - \varepsilon_{z \text{ ср і ш икл}} \quad (3.10)$$

$$\Delta_{\text{ш откл}} = \varepsilon_{z \text{ ид ср і}} - \varepsilon_{z \text{ ср і ш откл}} \quad (3.11)$$

Для нешипованих шин

$$\Delta_{\text{нш икл}} = \varepsilon_{z \text{ ид ср і}} - \varepsilon_{z \text{ ср і нш икл}} \quad (3.12)$$

$$\Delta_{\text{нш откл}} = \varepsilon_{z \text{ ид ср і}} - \varepsilon_{z \text{ ср і нш откл}} \quad (3.13)$$

Ефективність дії системи ЕКС на одному типі шин (K_i) визначається таким чином:

$$K_{\text{ш і}} = \left| \frac{\Delta_{\text{ш икл}}}{\Delta_{\text{ш откл}}} \right| \quad (3.14)$$

$$K_{\text{нш і}} = \left| \frac{\Delta_{\text{нш икл}}}{\Delta_{\text{нш откл}}} \right| \quad (3.15)$$

Умова ефективності на одному типі шин: $K_{ш i} < 1$ та $K_{нш i} < 1$. В цьому випадку можна стверджувати, що стійкість і керованість автомобіля з системою не гірші, ніж без неї.

Для визначення ефективності дії системи ЕКС на різних типах шин необхідно вибрати ділянки заїзду з рульовим роботом, де на всіх типах шин спрацьовувала система ЕКС. Для цих ділянок обчислюється значення ефективності на різних типах шин (E):

$$E_{ш} = \frac{\varepsilon_{z \text{ ср } i \text{ ш вкл}}}{\varepsilon_{z \text{ ср } i \text{ ш откл}}}, \quad (3.16)$$

$$E_{нш} = \frac{\varepsilon_{z \text{ ср } i \text{ нш вкл}}}{\varepsilon_{z \text{ ср } i \text{ нш откл}}} \quad (3.17)$$

Величина Δ_E показує в скільки разів ефективність на одному типі шин вище, ніж на іншому:

$$\Delta_E = \frac{E_{нш}}{E_{ш}} \quad (3.18)$$

Якщо ж на даній ділянці ефективність з включеною системою була нижчою, ніж з відключеною, то Δ_E показує, в скільки разів ефективність на одному типі шин нижче, ніж на іншому.

За допомогою розробленого критерію можливо визначати ефективність дії системи ЕКС на льоду, а так само на інших покриттях, проте, з іншими налаштуваннями рульового робота.

Висновки

Як об'єкт випробувань вибраний типовий легковий автомобіль Nissan X-trail 2015 модельного року, оснащений системою ЕКС. Встановлене на автомобіль вимірювальне устаткування дозволяє визначати необхідні показники з необхідною точністю.

Застосований метод дозволяє оцінювати ефективність дії системи ЕКС на льоду на автомобілях, оснащених шипованими шинами.

Дані, отримані під час випробуваннях можуть бути використані в процесі удосконалення систем активної безпеки.

4. РЕЗУЛЬТАТИ ЕКСПЕРИМЕНТАЛЬНИХ ДОСЛІДЖЕНЬ

Відповідно до методики випробувань приведені всі умови та характеристики випробувальних заїздів. Якщо дослідний автомобіль виїжджав за межі розміченого випробувального коридору, то заїзд вважався незарахованим.

Під час проведення випробувальних заїздів здійснювалася відео зйомка, яка використовувалася в процесі вивчення поведінки автомобіля на крижаній поверхні.

4.1. Аналіз експериментальних φ - S діаграм з відведенням на льоду

За результатами випробувальних маневрів «Гальмування задньою віссю в повороті» та «Гальмування одним заднім колесом», згідно формул описаних в пункті 2.3 були визначені та побудовані графіки залежностей φ_x , φ_y , δ , S_x , α від часу t .

Для побудови φ - S діаграм в повздовжньому та поперечному напрямках аналізувалися певні інтервали, де ковзання колеса в повздовжньому напрямі (S_x) було в межах погрішності проведення експерименту, при цьому решта значень бралася по середній величині на аналізованому інтервалі. Приклади обробки представлені на рис. 4.1.

Результати випробувального маневру «Гальмування одним заднім колесом» приведені в таблиці 4.1 та 4.2, а за випробувального маневру «Гальмування задньою віссю в повороті» в таблиці 4.3 та 4.4.

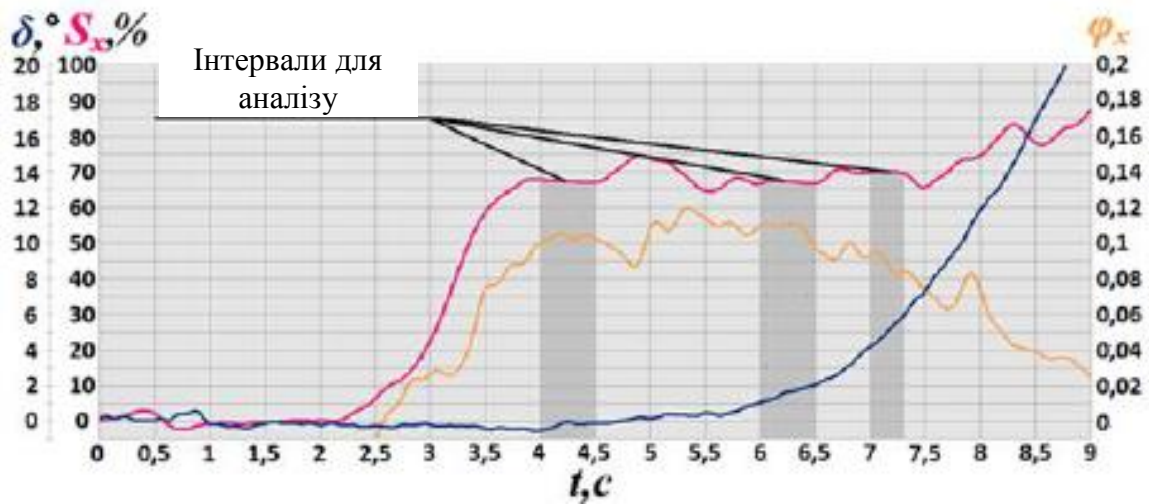


Рисунок 4.1 А) залежності φ_x , δ , S_x від часу в процесі маневру «Гальмування одним заднім колесом»

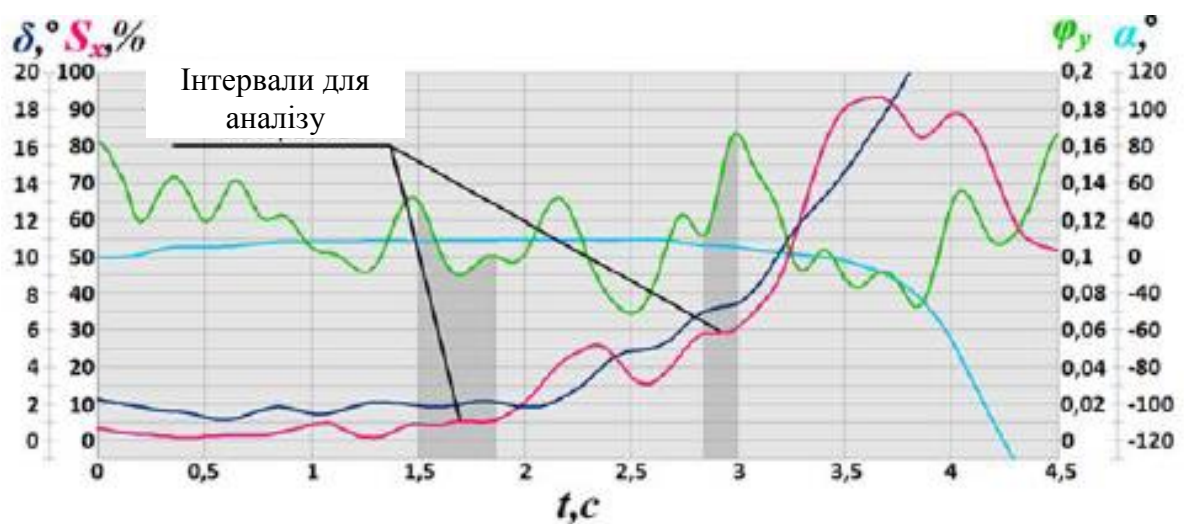


Рисунок 4.1 Б) залежності φ_y , δ , S_x , α від часу в процесі маневру «Гальмування задньою віссю в повороті»

де: α - кут повороту керма;

δ - кут відведення задньої осі;

S_x - повздовжнє ковзання колеса;

φ_x - коефіцієнт зчеплення в повздовжньому напрямі;

φ_y - коефіцієнт зчеплення в поперечному напрямі;

t - час.

Таблиця 4.1 Залежність коефіцієнта зчеплення від ковзання та кута відведення (гальмування одним заднім колесом, шини - зимові шиповані)

$S_y = 0\%; \delta = 0^\circ$										
$S_x, \%$	5	10	15	20	30	40	50	70	90	100
φ_x	0,165	0,173	0,175	0,178	0,180	0,180	0,178	0,170	0,155	0,145
$S_y = 3,4\%; \delta = 2^\circ$										
φ_x	0,130	0,160	0,164	0,165	0,168	0,170	0,170	0,160	0,140	0,125
$S_y = 6,9\%; \delta = 4^\circ$										
φ_x	0,130	0,154	0,155	0,156	0,158	0,160	0,160	0,150	0,130	0,110
$S_y = 10,4\%; \delta = 6^\circ$										
φ_x	0,074	0,870	0,097	0,105	0,120	0,127	0,135	0,140	0,120	0,100
$S_y = 13,9\%; \delta = 8^\circ$										
φ_x	0,025	0,040	0,055	0,065	0,080	0,085	0,090	0,095	0,100	0,09

Таблиця 4.2 Залежність коефіцієнта зчеплення від ковзання та кута відведення (гальмування одним заднім колесом, шини - зимові без шипів)

$S_y = 0\%; \delta = 0^\circ$										
$S_x, \%$	5	10	15	20	30	40	50	70	90	100
φ_x	0,165	0,162	0,161	0,158	0,15	0,142	0,140	0,130	0,120	0,110
$S_y = 3,4\%; \delta = 2^\circ$										
φ_x	0,135	0,155	0,152	0,150	0,145	0,137	0,130	0,120	0,110	0,100
$S_y = 6,9\%; \delta = 4^\circ$										
φ_x	0,130	0,150	0,147	0,145	0,140	0,130	0,120	0,110	0,100	0,095
$S_y = 10,4\%; \delta = 6^\circ$										
φ_x	0,070	0,085	0,088	0,090	0,085	0,080	0,075	0,070	0,065	0,060
$S_y = 13,9\%; \delta = 8^\circ$										
φ_x	0,025	0,040	0,048	0,051	0,055	0,048	0,038	0,03	0,022	0,020

Таблиця 4.3 Залежність коефіцієнта зчеплення від ковзання та кута відведення (гальмування задньою віссю в повороті, шини - зимові шиповані)

$S_y = 3,4\%; \delta = 2^\circ$										
$S_x, \%$	5	10	15	20	30	40	50	70	90	100
φ_y	0,151	0,140	0,115	0,097	0,075	0,054	0,043	0,039	0,036	0,032
$S_y = 6,9\%; \delta = 4^\circ$										
φ_y	0,172	0,162	0,129	0,100	0,079	0,057	0,050	0,047	0,045	0,040
$S_y = 10,4\%; \delta = 6^\circ$										
φ_y	0,176	0,167	0,144	0,111	0,094	0,072	0,057	0,047	0,043	0,040
$S_y = 13,9\%; \delta = 8^\circ$										
φ_y	0,180	0,173	0,158	0,126	0,108	0,075	0,057	0,047	0,043	0,040

Таблиця 4.4 Залежність коефіцієнта зчеплення від ковзання та кута відведення (гальмування задньою віссю в повороті, шини - зимові без шипів)

$S_y = 3,4\%; \delta = 2^\circ$										
$S_x, \%$	5	10	15	20	30	40	50	70	90	100
φ_y	0,144	0,126	0,108	0,086	0,064	0,043	0,029	0,021	0,016	0,009
$S_y = 6,9\%; \delta = 4^\circ$										
φ_y	0,162	0,144	0,117	0,063	0,045	0,028	0,021	0,018	0,014	0,010
$S_y = 10,4\%; \delta = 6^\circ$										
φ_y	0,120	0,116	0,105	0,090	0,075	0,050	0,038	0,027	0,016	0,012
$S_y = 13,9\%; \delta = 8^\circ$										
φ_y	0,090	0,085	0,080	0,073	0,065	0,050	0,036	0,029	0,020	0,013

Згідно представлених результатів в таблицях 4.1 - 4.4 побудовано $\varphi - S$ діаграми для зимових шипованих та нешипованих шин з відведенням (рис. 4.2)

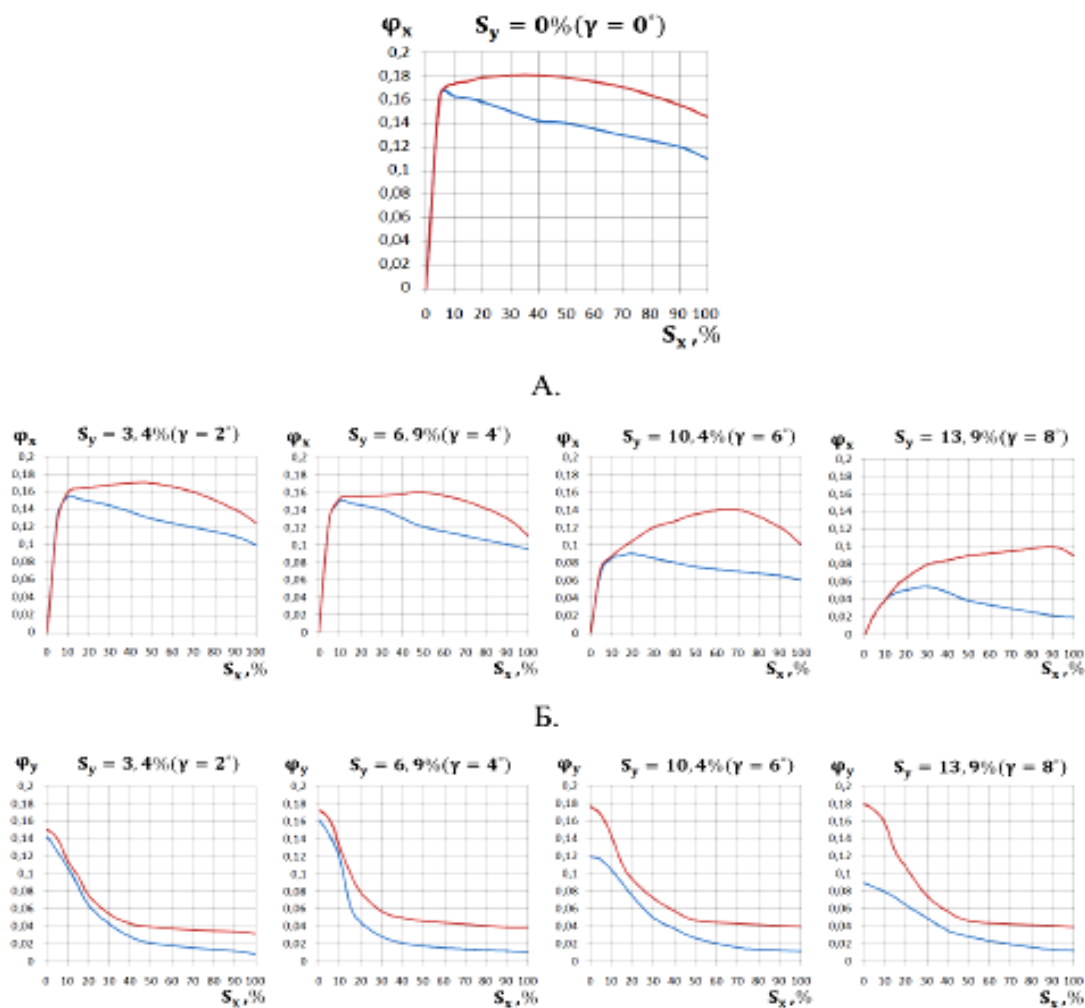


Рисунок 4.2 $\varphi_x(S_x, S_y)$ та $\varphi_y(S_x, S_y)$ діаграми для зимових шипованих та нешипованих шин на льоду: А - в подовжньому напрямі без відведення; Б - відповідно з відведенням; — шини без шипів; — шиповані шини

На рис. 4.2 А зображені φ - S діаграми отримані експериментальним шляхом без відведення. Її характер схожий з тими діаграмами, які в своїх роботах представили інші дослідники [3, 12], що доводить працездатність застосованого методу дослідження.

Для наочності представимо досліджувані залежності у вигляді тривимірних поверхонь рис. 4.3 - 4.6.

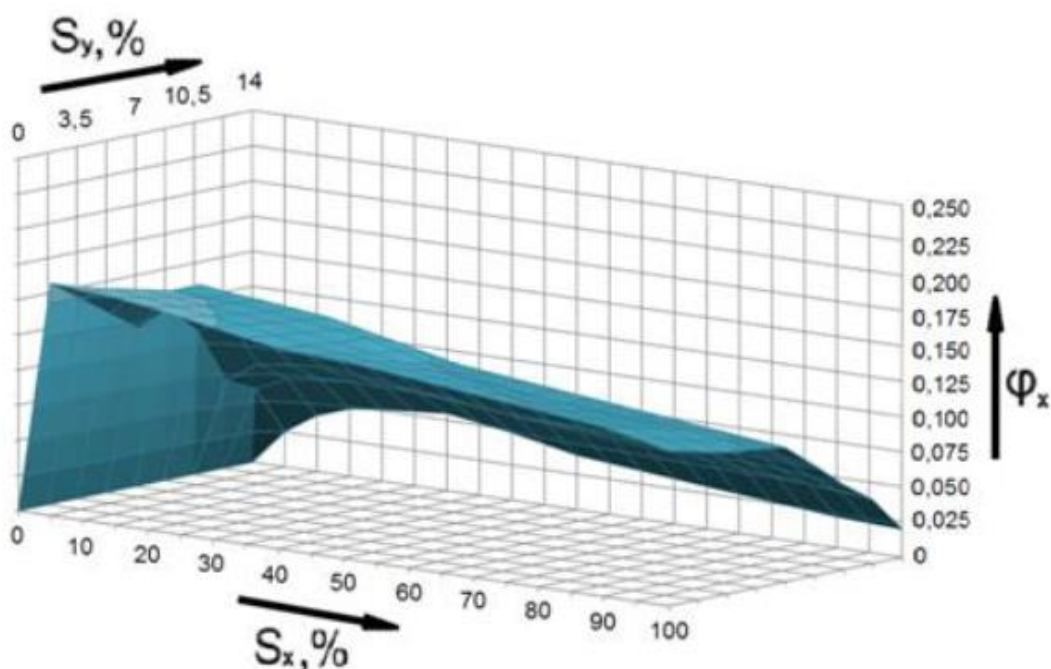


Рисунок 4.3. Поверхня $\varphi_x(S_x, S_y)$ для зимових шин без шипів

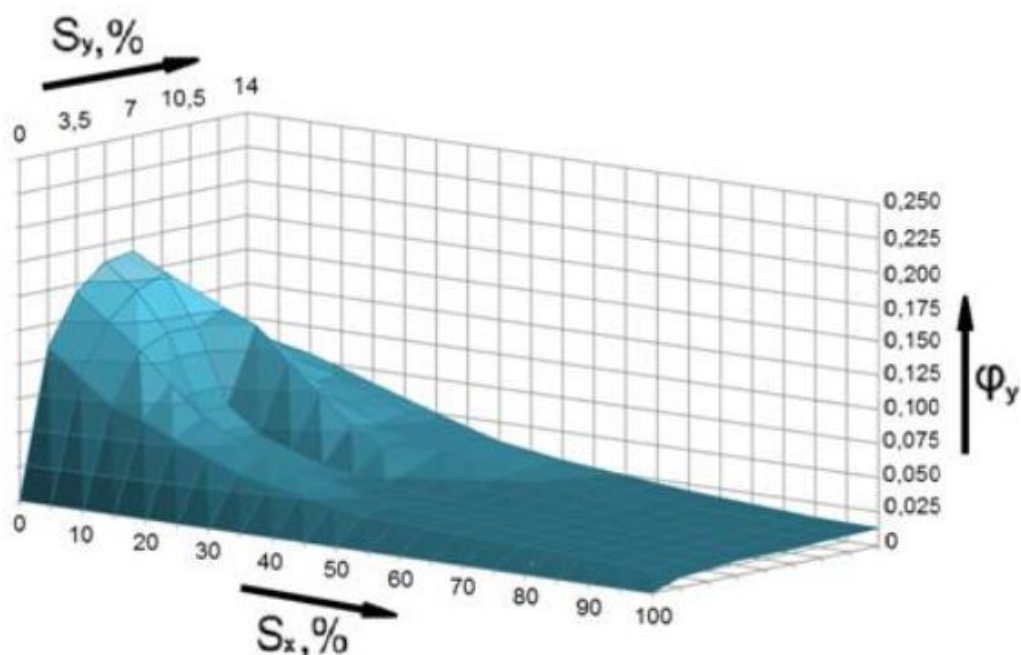


Рисунок 4.4. Поверхня $\varphi_y(S_x, S_y)$ для зимових шин без шипів

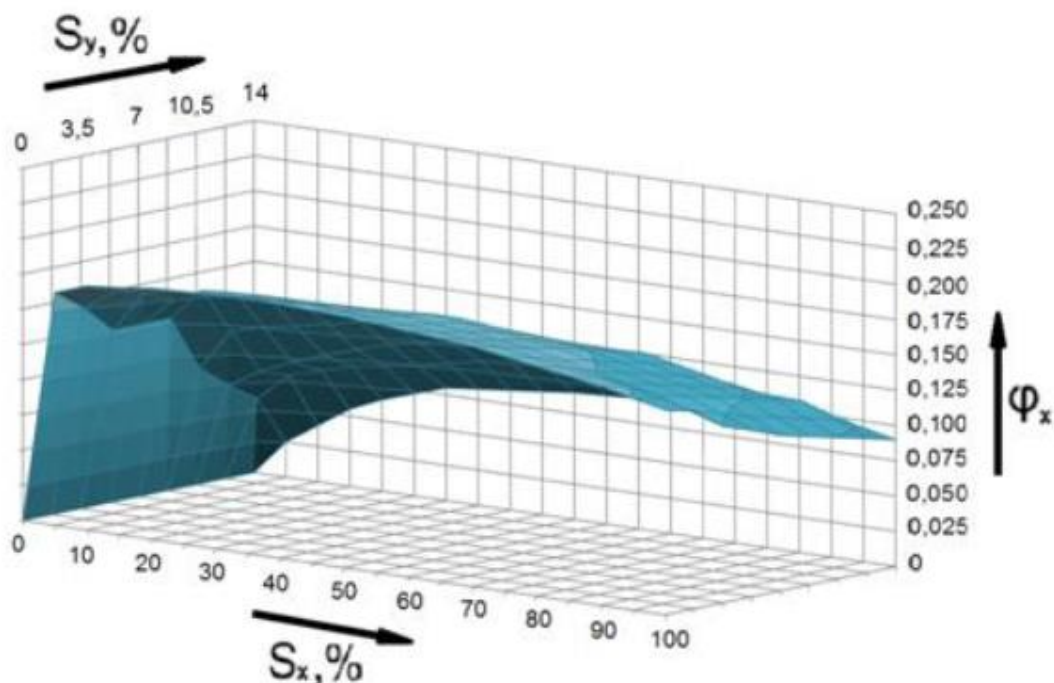


Рисунок 4.5. Поверхня $\varphi_x(S_x, S_y)$ для зимових шин з шипами

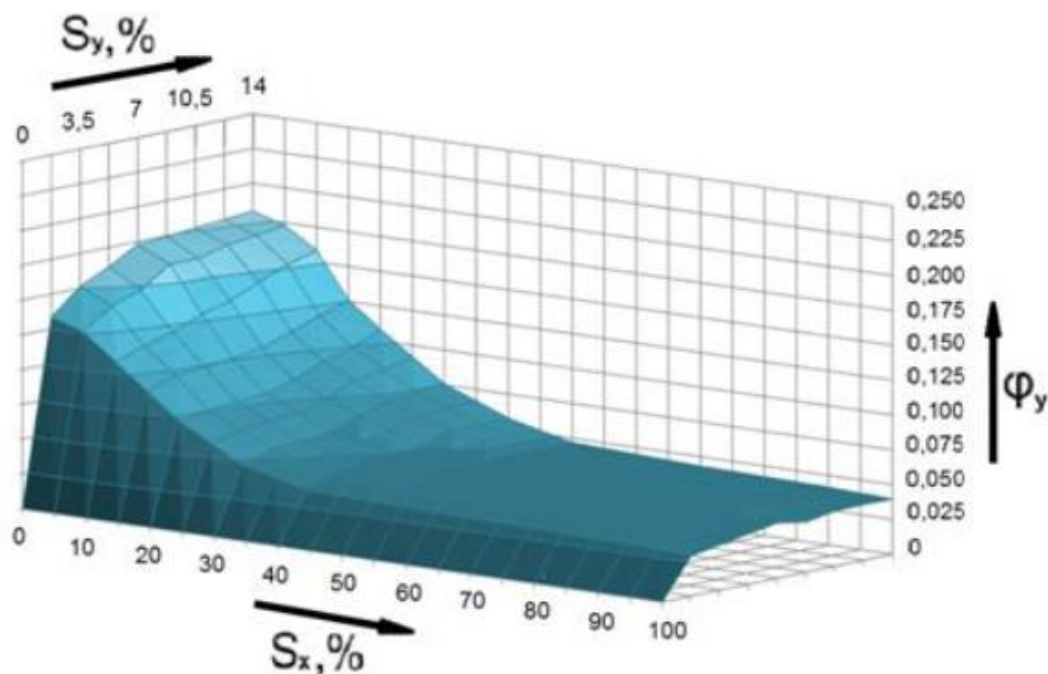


Рисунок 4.6. Поверхня $\varphi_y(S_x, S_y)$ для зимових шин з шипами

На основі аналізу побудованих поверхонь можна стверджувати, що максимум поверхні $\varphi_x(S_x, S_y)$ для шини з шипами йде у бік великих ковзань в повздовжньому напрямі S_x . Для нешипованих шини це зростання менше. В поперечному напрямі S_y під час зростання ковзань поверхня $\varphi_x(S_x, S_y)$ для шини з шипами падає з меншою інтенсивністю, ніж поверхня для нешипованої шини.

Абсолютний максимум поверхні для шини з шипами виріс зі значення 0,165 до 0,180.

В поперечному напрямку (рис. 4.4 та рис. 4.6) поверхня $\varphi_y(S_x, S_y)$ для шини з шипами не має яскраво вираженого максимуму, ніж для нешипованої. Абсолютний максимум поверхні для шини з шипами виріс зі значення 0,162 до 0,18 та продовжував збільшуватись за умови збільшенні ковзання в поперечному напрямі S_y .

Шляхом векторного складання залежностей $\varphi_x(S_x, S_y)$ та $\varphi_y(S_x, S_y)$ можна отримати залежність $\varphi_\Sigma(S_x, S_y)$, яка описує сумарне зчеплення шини з опорною поверхнею, рис.4.7 - 4.8.

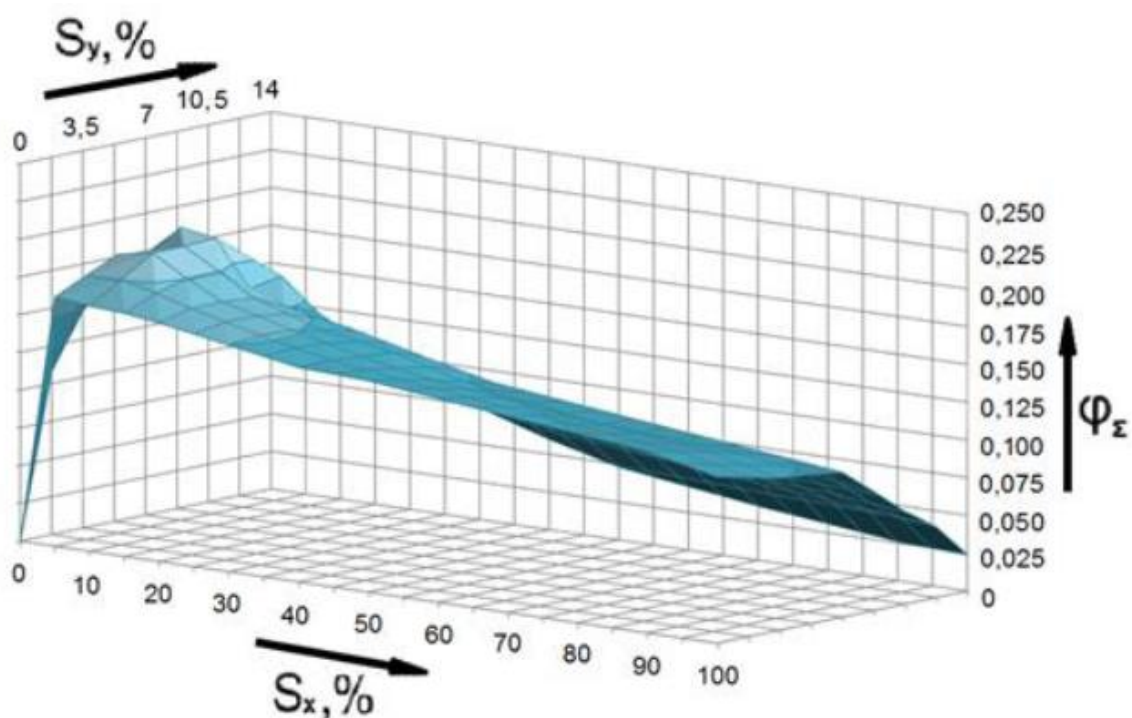


Рисунок 4.7. Поверхня $\varphi_\Sigma(S_x, S_y)$ на льоду для зимової шини без шипів

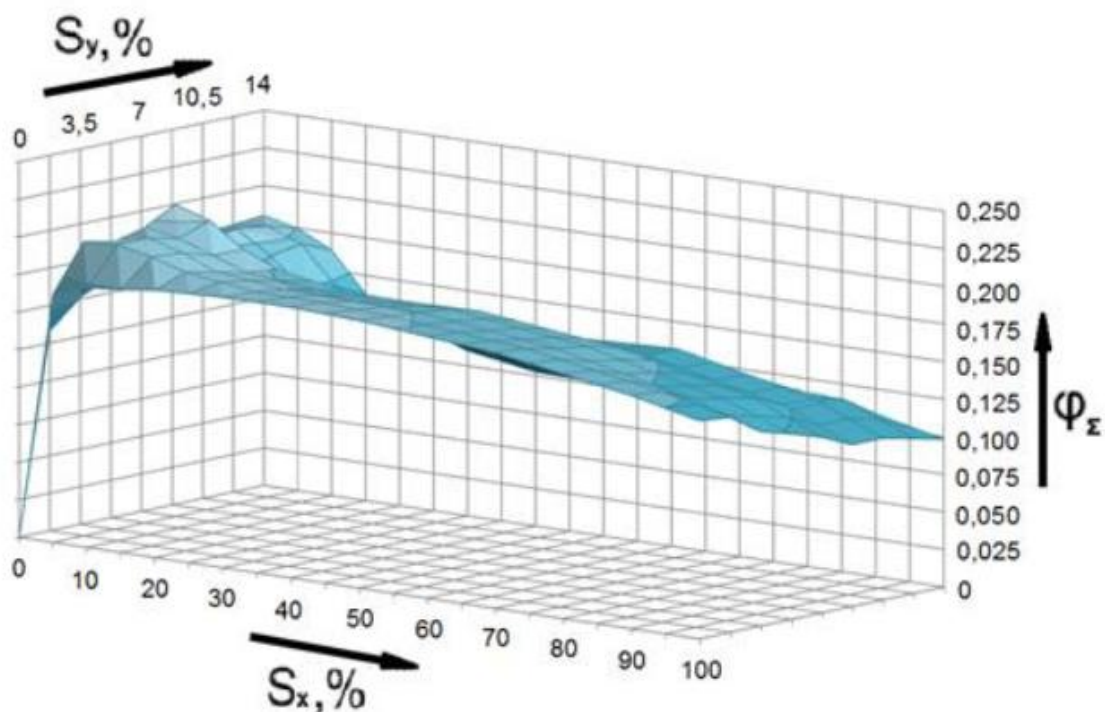


Рисунок 4.8. Поверхня $\varphi_{\Sigma}(S_x, S_y)$ на льоду для зимової шини з шипами

Аналіз побудованих діаграм показує, що абсолютний максимум коефіцієнта зчеплення шипованої шини по відношенню до нешипованої виріс із значення 0,19 до 0,21. Зі зростанням ковзань, як в подовжньому, так і в поперечному напрямі, поверхня діаграми шипованої шини не має такого різкого падіння, ніж у шини баз шипів. Це пояснюється тим, що шипи на колесах працює тільки досягши ковзання колеса більше 5%, як в повздовжньому, так і в поперечному напрямках. Це створює сприятливіші умови для роботи системи ЕКС.

4.2. Ефективність дії системи ЕКС на крижаній поверхні

За результатами випробувальних маневрів «усічена синусоїда на льоду» були визначені значення кута повороту рульового колеса (α), швидкостей коліс автомобіля ($V_{пп}$, $V_{пл}$, $V_{зп}$, $V_{зл}$), модуль вектора швидкості автомобіля щодо опорної поверхні (V_a), та значення кутової швидкості автомобіля (ω_z) щодо

вертикальної осі для двох типів шин: шипованої та без шипів, а також для двох режимів стану системи ЕКС: увімкнута і відключена. Приклади цих залежностей представлені на рис. 4.9., 4.10. За допомогою формули 3.8 була розрахована кутова швидкість автомобіля, яка приймається за ідеальну та відображена на цих рисунках.

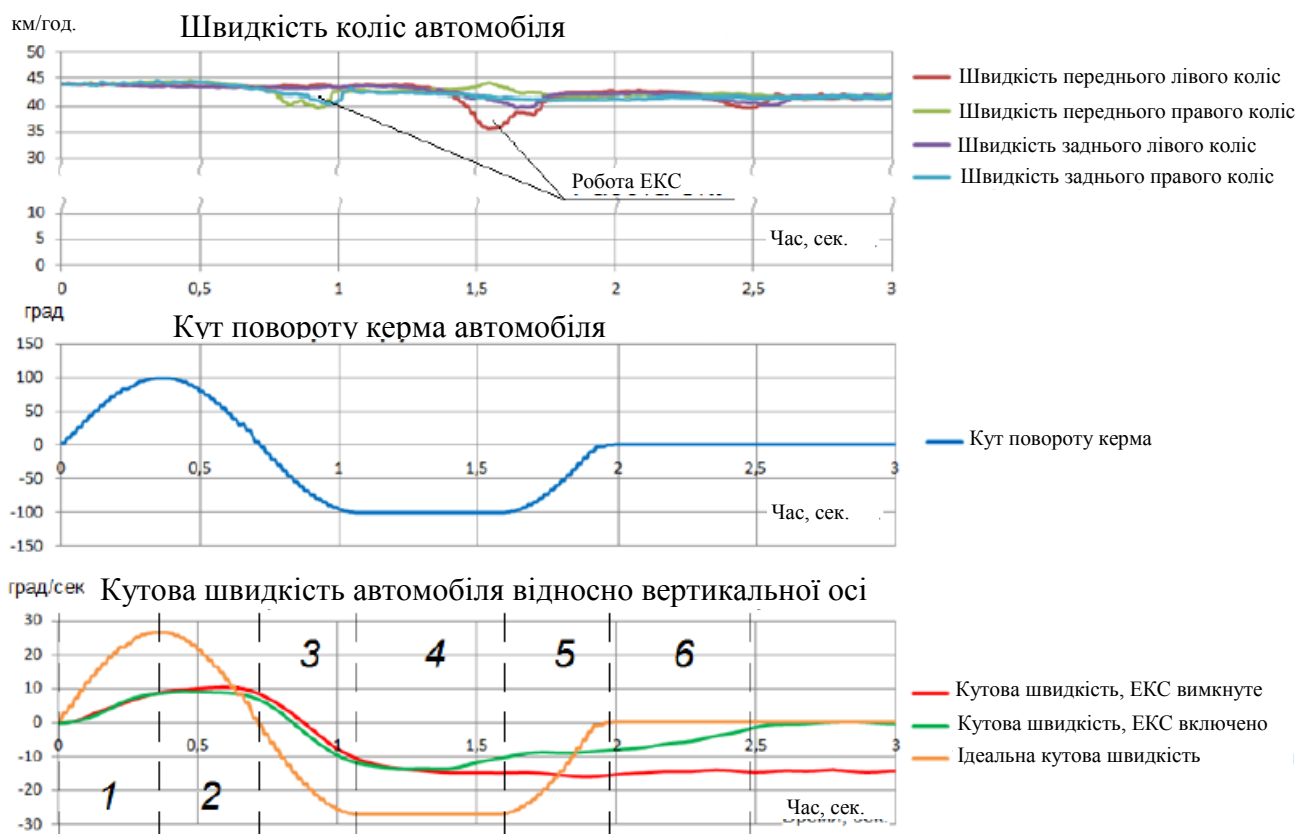


Рисунок 4.9. Залежності швидкостей коліс, кута повороту керма, реальної та ідеальної кутових швидкостей автомобіля щодо вертикальної осі від часу для шини без шипів

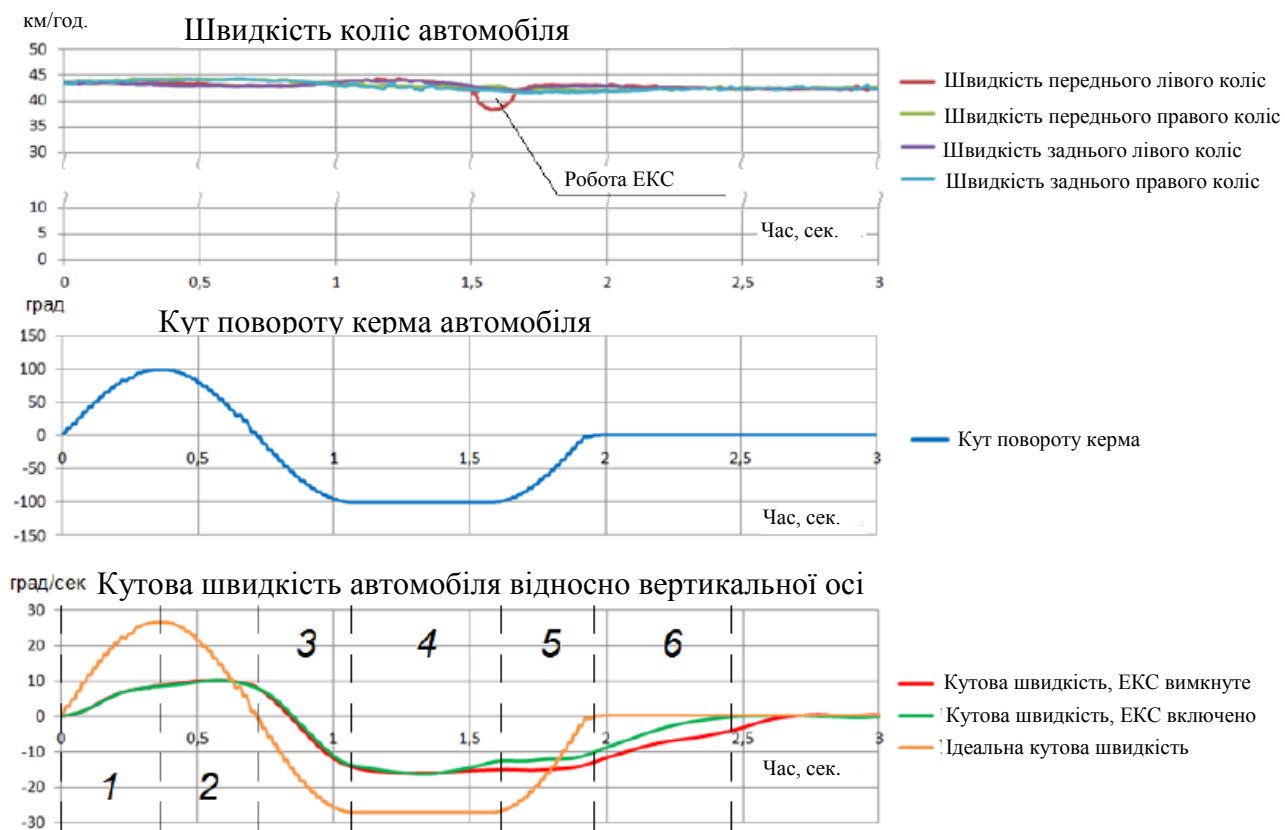


Рисунок 4.10. Залежності швидкостей коліс, кута повороту керма, реальної та ідеальної кутових швидкостей автомобіля щодо вертикальної осі від часу для шипованої шини

З представлених графіків можна визначити у які моменти часу спрацьовувала система ЕКС, та як робота системи впливає на кутову швидкість автомобіля по відношенню до вертикальної осі.

Аналізуючи побудовані діаграми можна стверджувати, що система частіше спрацьовує на нешипованих шинах, ніж на шипованих. За відключеної системи характер зміни кутової швидкості щодо вертикальної осі ближчий до тієї, що вважається ідеальною на шипованих шинах, ніж без шипів.

Обидва ці факти пояснюються вищими зчіпними властивостями шипованих шин.

За допомогою формул 3.6 - 3.8 були розраховані значення середнього кутового прискорення автомобіля щодо вертикальної осі на ділянках, представлених в таблиці 4.5 - 4.6. Розмітка ділянок відображено на рис. 3.8

Таблиця 4.5 Значення середнього та ідеального кутового прискорення автомобіля навколо вертикальної осі по ділянках, для нешипованої шини

№ ділянки	$ \varepsilon $, град/с ² прийнято ідеальним	$ \varepsilon $, град/с ² ЕКС включено	$ \varepsilon $, град/с ² ЕКС відключено
1.	73,4	24,6	25,1
2.	73,4	3,8	1
3.	73,4	52,6	53,7
4.	0	1,7	8,9
5.	73,4	5,6	2,9
6.	0	13,1	2,4

Таблиця 4.6 Значення середнього та ідеального кутового прискорення автомобіля навколо вертикальної осі по ділянках, для шипованої шини

№ ділянки	$ \varepsilon $, град/с ² прийнято ідеальним	$ \varepsilon $, град/с ² ЕКС включено	$ \varepsilon $, град/с ² ЕКС відключено
1.	73,4	24,3	24,5
2.	73,4	2,1	1
3.	73,4	62,5	62,4
4.	0	1,2	2
5.	73,4	3,8	1,8
6.	0	19,6	17,8

Розраховані значення кутових прискорень потрібно порівнювати один з одним на одному типі пневматичних шин. За найкраще значення приймається та величина, яка ближча за своєю величиною до кутового прискорення, що вважається ідеальним, після першого спрацьовування системи ЕКС на ділянках №1 - №5. Ділянку №6 розглядаємо особливим чином, тобто на ній якнайкращим значенням кутового прискорення вважається найбільша величина. Аналізуючи таблиці 4.5 - 4.6 можна стверджувати, що на ділянках №2 - №5 значення кутових прискорень при включеній системі ЕКС ближчі до значень, що ідеалізуються, ніж за відключеної системи. Також на ділянці №6 найбільше значення кутового прискорення досягається коли система включена.

Для того що б визначити ефективність системи ЕКС, за умови оснащення автомобіля шипованими шинами, слід вибрати найяскравішу ділянку, де спрацьовує система ЕКС на шипованих та нешипованих шинах. У нашому

випадку це ділянка №4, де кутове прискорення, що ідеалізується, рівне 0. Ефективність дії системи ЕКС на цій ділянці визначається з виразів:

$$E_{\text{нш}} = \frac{\varepsilon_{\text{ЕКС вкл нш}}}{\varepsilon_{\text{ЕКС викл нш}}} = \frac{8,9}{1,7} = 5,2 \quad , \quad (5.1)$$

$$E_{\text{ш}} = \frac{\varepsilon_{\text{ЕКС вкл ш}}}{\varepsilon_{\text{ЕКС викл ш}}} = \frac{2}{1,2} = 1,7 \quad , \quad (5.2)$$

де: $E_{\text{нш}}$ - ефективність системи ЕКС на нешипованих шинах;

$E_{\text{ш}}$ - ефективність системи ЕКС на шипованих шинах;

$\varepsilon_{\text{ЕКС вкл нш}}$, $\varepsilon_{\text{ЕКС викл нш}}$ - кутове прискорення відповідно з включеною та виключеною системою ЕКС на нешипованих шинах, град/сек²;

$\varepsilon_{\text{ЕКС вкл ш}}$, $\varepsilon_{\text{ЕКС викл ш}}$ - кутове прискорення відповідно з включеною та виключеною системою ЕКС на шипованих шинах, град/сек².

Аналізуючи отримані результати можна зробити висновок, що за умови оснащення автомобіля шипованими шинами ефективність дії системи ЕКС падає в 3 рази. Це пов'язано як з формою отриманих $\varphi - S$ діаграм на шипованих та нешипованих шинах, які мають яскраво виражені відмінності та особливості, так і з підвищенням загального коефіцієнта зчеплення.

Висновки

Завдяки застосованій методиці досліджень експериментально отримані $\varphi - S$ діаграми в подовжньому та поперечному напрямках з відведенням для шипованої і нешипованої шини на льоду. Встановлена різниця в характері протікання $\varphi - S$ діаграм шипованої та нешипованої шини на льоду як в подовжньому, так і в поперечному напрямках.

Проведена експериментальна оцінка ефективності дії ЕКС по запропонованому критерію. Коефіцієнти ефективності системи показали, що

незалежно від типу встановленої шини, значення кутових прискорень ближчі до ідеальних з включеною системою, ніж при відключеній.

Експериментально підтверджене зниження ефективності дії системи ЕКС, на ділянці №4, автомобіля Nissan X-trail, оснащеного шипованими шинами Yokohama iceGUARD Stud IG55 в 3 рази, в порівнянні з аналогічними без шипів.

5. ОХОРОНА ПРАЦІ ТА БЕЗПЕКА У НАДЗВИЧАЙНИХ СИТУАЦІЯХ

5.1. Основні завдання охорони праці

Перед початком виробничого процесу на робочому місці (дільниці) необхідно перевірити нормативну відповідність і безпечність умовам праці: площу, висоту і об'єм; ступінь небезпеки ураження електричним струмом, вибуховою, вибухово-пожежною та пожежною небезпекою; умови праці та їх відповідність санітарно-гігієнічним стандартам; температуру, швидкість руху повітря, відносну вологість, заповишеність і загазованість, рівень шумів, вентиляцію, освітлення та захламленість приміщення та робочих місць; огорожі небезпечних зон; запобіжні, блокувальні та сигнальні пристрої; знаки безпеки, спецодяг та індивідуальні засоби захисту; вказівки про можливі причини травматизму, професійних захворювань та їх запобігання.

Аналіз результатів перевірки умов праці є підставою для введення в експлуатацію робочого місця (дільниці), розробки заходів по удосконаленню (створенню) безпечних, нешкідливих і максимально полегшених умов праці. Ці заходи можуть бути поділені на підгрупи: організаційні по поліпшенню умов праці і удосконаленню техніки безпеки; контроль за дотриманням норм і правил охорони праці.

До організаційних належать заходи зі своєчасного обслуговування обладнання дільниці для підтримання його у технічно справному стані, навчання робітників безпечним прийомам праці, забезпечення робітників спецодягом та індивідуальними засобами захисту, встановлення і дотримання протипожежного режиму, забезпечення дільниці первинними засобами пожежогасіння, розміщення знаків і попереджувальних написів, забезпечення робітників пам'ятками та інструкціями з техніки безпеки.

До заходів, які сприяють поліпшенню умов праці, належать: удосконалення опалення приміщень; нормалізація вологості в них та ліквідація

протягів; зниження запыленості та загазованості повітря; поліпшення освітленості робочих місць; зниження шумів та вібрацій.

Удосконалення техніки безпеки передбачає: поліпшення огорож, огляд та випробування парових котлів, повітрязбірників та вантажних засобів, встановлення запобіжних засобів, автоматичної сигналізації та блокування, контроль за станом електрообладнання і заземлення, контроль технічного стану машин, механізмів і обладнання, утримання інструменту та пристроїв у технічно справному стані, забезпечення надійності індивідуальних засобів захисту.

Якщо виробнича площа дільниці знаходиться в окремому приміщенні, тоді потрібно виконати перевірний розрахунок вентиляції і освітлення дільниці. Одержані розрахунки потрібно порівняти з нормативними і при необхідності внести свої корективи.

Якщо дільниці розташовані у загальному приміщенні, тоді потрібно навести нормативні параметри, які стосуються безпеки і умов праці на дільниці (температура повітря, відносна вологість, швидкість руху повітря (запыленість, загазованість, рівень звуків).

Якщо дільниця розташована у загальному приміщенні і не відокремлена стінами, потрібно тільки навести нормативні параметри, які стосуються безпеки і умов праці на дільниці (кратність обміну повітря, опір заземлюючого контуру, температура повітря, відносна вологість, допустимі запыленість і загазованість, рівень звуків, швидкість руху повітря, колір інтер'єра приміщення і обладнання та ін.).

Нормальна і безпечна робота на дільниці залежить від організації основи виробничого процесу – робочого місця. Площа робочого місця мусить відповідати встановленим нормам, організації охорони праці і техніки безпеки.

Рациональна організація робочого місця – це система заходів зі створення повного комплексу нормальних і безпечних умов, що сприяють найбільш раціональному використанню часу, засобів виробництва, забезпечують безпечні умови роботи, найвищу працездатність і хороше самопочуття.

Інтер'єр проектованої ділянки повинен відповідати санітарно-гігієнічним вимогам, оскільки раціональне пофарбування приміщень і обладнання робочих місць надають приємного вигляду приміщенню, позитивно впливають на працездатність, знижують втомлюваність, поліпшують настрій робітникам.

Наприклад, стелю, вікна, фрамуги доцільно фарбувати в білий колір; стіни і панелі – у світло-зелений чи світло-блакитний, обладнання – зелено-блакитним, рухомі частини обладнання – в кремовий.

Необхідно передбачити випробування транспортних, вантажно-підйомних засобів, автоматичної сигналізації, запобіжних засобів та надійності індивідуального захисту.

На робочих місцях усі предмети повинні займати певне місце. Зайві предмети не допускаються. Розлиті нафтопродукти, мийні засоби тощо слід прибирати – підлога повинна бути сухою. На робочих місцях із бетонованою підлогою обладнують переносні дерев'яні настили. Розміри проходів між робочими місцями (станками, стендами та ін.) і робочих зон мають відповідати встановленим нормам, захарашувати їх забороняється. Приміщення, в яких спостерігають загазованість та виділення вибухонебезпечних й шкідливих парів і газів, ізолюють одне від одного та від інших приміщень, а також забезпечують припливно-витяжною вентиляцією. Вхідні двері і ворота приміщень мають відкриватися назовні. Для запобігання протягам усі зовнішні входи та в'їзди повинні мати тамбури.

Струмоприймачі необхідно заземлювати, електричні провідники – надійно ізолювати й закривати трубами і кожухами. Забороняється використовувати запобіжники, що не відповідають електросхемам, або замінити їх під напругою. Освітлення, температура, вологість повітря, вібрація, шум у приміщеннях не повинні перевищувати встановлених меж.

Підйомно-транспортні пристрої, захвати, троси тощо мають бути справними і випробуваними. Перед підніманням вантажу слід переконатися, що захват надійно його охоплює. Підіймати й опускати вантаж необхідно тільки

вертикально. Не можна стояти під піднятим вантажем. При транспортуванні останнього робітник повинен знаходитись позаду нього.

Відкриті рухомі частини верстатів, стендів, випробовуваних складальних одиниць і машин повинні бути надійно захищені. Забороняється працювати на несправному обладнанні, а також при показаннях приладів, що перевищують допустимі значення; використовувати несправний інструмент, пристосування. Обслуговувати машину можна тільки при гарантованій стійкості. Перед запуском обладнання і машин необхідно переконатися в тому, що пристосування і об'єкти, які випробовуються, перебувають у відповідному (безпечному) положенні.

До роботи з використанням обладнання, механізмів, механізованого інструменту, приладів тощо робітник допускається після вивчення їхньої будови і правил безпечної експлуатації. Вмикання обладнання, підйомно-транспортних засобів, механізованого інструменту, двигунів, машин здійснюють після того, як усі працюючі на цьому робочому місці про це попереджені.

При роботі з електрифікованим інструментом потрібно користуватися діелектричними рукавицями, випробуваними у встановлені строки на електропровідність. Під час роботи електроінструмент необхідно заземлювати. При використанні пневмоінструменту повітря подавати після встановлення його в робоче положення. Заміна робочого інструменту в пневмоелектроінструменті дозволяється тільки при відключенні його від електричної (повітряної) мережі. Не можна переходити на інше робоче місце з увімкнутим в мережу інструментом.

Працювати дозволяється тільки у відповідному спецодязі, що не утруднює рухів. Не допускається наявність звисаючих кінців; рукави повинні бути застебнуті, а волосся прибрано під головний убір.

Роботи, пов'язані із можливістю ураження очей, шкіри рук, необхідно виконувати тільки в захисних засобах (окулярах, щитках, рукавицях, чоботах та ін.). На місці виконання робіт не повинні знаходитись сторонні особи. На

робочих місцях мають бути вивішені правила (інструкції) з техніки безпеки і таблички з попереджувальними написами. Кожний робітник повинен уміти надавати собі чи товаришу першу медичну допомогу при механічних (електричних) травмах та отруєннях.

На всіх робочих місцях мають бути наочні посібники з техніки безпеки, плакати, попереджувальні написи, написи з відповідних інструкцій та правил. Робітники повинні бути забезпечені відповідним спецодягом, спецвзуттям і захисними пристроями відповідно до діючих норм. До діагностування, обслуговування, ремонту автомобілів допускаються робітники, які пройшли спеціальну підготовку і мають відповідні посвідчення, а також отримали інструктаж з техніки безпеки на одному робочому місці (дільниці) та продемонстрували безпечні прийоми роботи. Інструктаж повинен бути оформлений у відповідних документах.

Ремонтно-обслуговуючі підприємства повинні бути забезпечені умовами праці та промсанітарії, питною водою, умивальником, душем, милом, рушниками, аптечкою першої допомоги. Забезпечена пожежна безпека.

Нормативи умов праці, промсанітарії на виробничих дільницях ремонту автомобілів: освітлення – люмінесцентне загальне 300 лк; температура повітря – 16...18 °С; відносна вологість повітря – 40...60 %; кратність обміну повітря – 1:2; шум – до 65...80 дБ; вібрація – до 30...50 Гц; запиленість повітря загальна – до 2 мг/м³; загазованість окисом вуглецю – до 10 мг/м³.

Слюсарно-механічна дільниця: освітлення – люмінесцентне загальне 300 лк; освітлення місцеве – 12В; температура повітря – 14... 16 °С; відносна вологість повітря – 40...60 %; кратність обміну повітря -1:2; шум – до 85...95 дБ; вібрація – до 30...50 Гц; запиленість повітря загальна – до 2 мг/м³; загазованість парами масел і охолоджувальної рідини – до 10 мг/м³. Ковальсько-зварювальна дільниця: освітлення – люмінесцентне загальне 300 лк; температура повітря – 14... 16 °С; відносна вологість повітря – 40...60 %; кратність обміну повітря -1:3; шум – до 70...90 дБ; вібрація – до 30...50 Гц; запиленість загальна – до 2 мг/м³; загазованість окисом вуглецю – до 10 мг/м³;

швидкість руху повітря – 0,2 м/с.

5.2. Безпека при проведенні випробувань

Дорожні випробування гальмівних систем, що випробовують ЕКС, відрізняються підвищеною небезпекою. Випробування дозволяється проводити тільки при дотриманні інструкції по техніку безпеки, діючих на полігоні.

Для проведення випробувань повинен бути офіційно призначений відповідальний за проведення випробувань (керівник випробувань), який несе відповідальність за безпеку людей і устаткування.

Керівник випробувань повинен бути присутнім при підготовці і проведенні випробувань, забезпечити дотримання заходів безпеки при виконанні програми випробувань.

Керівник повинен роз'яснити кожному учаснику випробувань його завдання і обов'язки, вказати робоче місце, яке необхідне займати під час випробувань.

Під час проведення гальмівних випробувань в кабіні автомобіля повинні знаходитися два експерти-випробувачі. Експерти-випробувачі повинні бути пристебнутий ременями безпеки, і надіти захисні шоломи автомобільного типу. Допускається відключення елементів пасивної безпеки.

Вживані при проведенні випробувань вимірювальні і реєструючі прилади повинні бути надійно закріплені і не заважати управлінню автомобілем. При виявленні несправностей випробування повинні бути припинені до їх усунення. також випробування повинні бути припинені при загрозі перекидання автомобіля.

При виконанні залікових заїздів фари автомобіля повинні бути включені в положення «дальнє світло».

Після закінчення випробувань необхідно відключити електроживлення вимірювальної та реєструючої апаратури і відновити тимчасово відключені елементи автомобіля.

На місці проведення випробування повинен чергувати автомобіль супроводу з аптечкою і вогнегасником.

5.3. Структура служби охорони праці у підприємстві

Організація роботи з охорони праці у сільськогосподарській галузі здійснюється згідно з “Положення про роботу з охорони праці і техніки безпеки на підприємствах, організаціях і установах системи МСГ України” [24].

Дане положення передбачає, що вся відповідальність за стан охорони праці покладається на керівництво сільськогосподарського підприємства. У структурі керівництва підприємством передбачена посада інженера з охорони праці, в обов’язки якого входить організація міроприємств направлених на забезпечення і поліпшення умов праці та контроль за термінами та якістю їх виконання.

По галузях виробництва, відповідальність за стан охорони праці несуть їх безпосередні керівники – головні спеціалісти (головний інженер, агроном, зоотехнік).

У кожному підрозділі (тракторній бригаді, рільничій бригаді, тваринницькій фермі тощо) відповідальними за дотриманням стану охорони праці є їх безпосередні керівники.

Загальна структура заходів з охорони праці передбачає виконання ряду профілактичних міроприємств:

- 1) вступний інструктаж проводиться інженером з охорони праці для всіх осіб, що приймаються на роботу незалежно від їх освіти, стажу роботи по даній професії чи посади;

- 2) первинний інструктаж на робочому місці проводиться головними спеціалістами з усіма прийнятими на роботу, переведеними з одного підрозділу в інший;

3) повторний інструктаж проводиться за програмою інструктажу на робочому місці безпосередніми керівниками підрозділів;

4) позаплановий інструктаж проводять безпосередні керівники робіт при зміні правил з охорони праці, зміні технологічного процесу, заміні або модернізації обладнання, пристроїв і інструменту та зміні інших факторів, які впливають на безпеку праці. Повторний інструктаж проводиться також при виявленні порушень працівниками правил техніки безпеки, які можуть призвести або призвели до травм, аварій чи пожежі;

5) поточний інструктаж проводиться керівниками робіт на робочому місці перед безпосереднім їх виконанням.

5.4. Аналіз умов праці та травматизму у підприємстві

Згідно чинного законодавства, відповідальність за стан охорони праці у підприємстві покладена на керівника та власника підприємства. У окремих галузях виробництва відповідальність за стан охорони праці несуть головні спеціалісти: в механізації – головний інженер; в рослинництві – головний агроном; в тваринництві – головний зоотехнік; в будівництві – інженер будівельник.

Керівництво розробкою і проведенням всього комплексу організаційних і профілактичних міроприємств з охорони праці покладається на інженера з охорони праці і техніки безпеки. Він являється головним організатором робіт з охорони праці і зобов'язаний перевіряти в усіх виробничих підрозділах стан техніки безпеки, виробничої санітарії, організації протипожежної охорони та дотримання трудової дисципліни.

Заходи з питань охорони праці у господарстві виконуються згідно діючого законодавства та угоди між профспілковим комітетом і керівництвом господарства. До основних заходів направлених на створення безпечних умов праці у господарстві належать:

1. проведення навчання працівників господарства з правил техніки безпеки;
2. проведення інструктажів згідно з вище поданою структурою;
3. покращення умов праці та особистої гігієни працюючих.

В обов'язки інженер з техніки безпеки входить систематичний контроль виконання норм і правил, що запобігають виникненню виробничого травматизму, забезпечення здорових умов праці і усунення порушень правил техніки безпеки, проведення вступних інструктажів, контроль своєчасного та якісного проведення інструктажів на робочих місцях, організація навчання працівників та інженерно – технічного персоналу з техніки безпеки, правил надання першої медичної допомоги травмованим. В своїй діяльності інженер з техніки безпеки підпорядковується згідно чинного законодавства безпосередньому керівнику господарства.

При профспілковому комітеті створена комісія з охорони праці. Вона разом з інженером з охорони праці займається розглядом виявлених порушень з техніки безпеки, виробничої санітарії і протипожежних заходів. Крім цього, дана комісія розробляє річний план роботи направленої на покращення умов праці і затверджує його на загальних зборах працівників господарства та контролює його виконання.

Незважаючи на значні фінансові труднощі господарства, всі працівники господарства, відповідно до встановлених норм, забезпечуються спецодягом. Працівники, які задіяні на роботах з шкідливими умовами, забезпечуються безплатним спецхарчуванням. Також, для них передбачений скорочений робочий день та додатковий термін відпустки.

Фінансування заходів з охорони праці та результати діяльності даної служби в продовж чотирьох останніх років подано в табл. 5.1.

Таблиця 5.1 Фінансування заходів з охорони праці у господарстві

Показник	Роки			
	2018	2019	2020	2021
Кількість працівників, чол.	18	17	16	18
Асигнування на охорону праці та протипожежні заходи, тис. грн.	32,9	39,6	42,0	45,4
В тому числі на одного працюючого, грн.	1740,0	2250,0	2480,5	2520,2
Витрати на придбання спецодягу, тис. грн.	10,3	14,7	16,9	19,0
Витрати на спецхарчування, тис. грн.	12,5	14,8	18,6	18,9
Витрати на протипожежні заходи, тис. грн.	8,8	9,2	6,3	6,3
Інші витрати, тис. грн.	1,3	0,9	0,2	1,2

За результатами аналізу табл. 5.1 можна зробити ряд висновків:

- загальні асигнування на охорону праці та протипожежні заходи зросли на 37,9 %;
- збільшуються витрати на окремі складові, зокрема, на спецодяг (84,4 %), на спецхарчування (51,2 %);
- витрати на протипожежні заходи зменшились (28,4 %);
- витрати коштів на одного працюючого у 2021 році досягли нормативного значення [24].

Відмічаючи ріст загальних асигнувань на охорону праці та протипожежні заходи, слід відмітити, що вказане зростання не може свідчити про покращення забезпеченості заходів з охорони праці, а є результатом зростання цін на промислову продукцію та послуги сторонніх організацій.

Оцінка стану виробничого травматизму у господарстві здійснюється за допомогою статистичного методу. Даний метод застосовується для визначення кількісних показників, які характеризують загальний рівень виробничого травматизму. Для цього використовують відносні величини – показники (коефіцієнти) частоти, важкості і втрат (непрацевдатності) [24].

Показник частоти травм K_v характеризує кількість нещасних випадків, що припадає на 1000 працюючих за певний період, і визначається за формулою

$$K_v = 1000 \cdot \frac{T}{P}. \quad (5.1)$$

Показник важкості травматизму K_m характеризує загальну важкість травм, що виникли протягом періоду, що аналізується. Він показує, скільки днів втрати працездатності в середньому припадає на одну травму, і визначається за формулою

$$K_m = \frac{D_n}{T}. \quad (5.2)$$

Показник K_n характеризує кількість днів втрати працездатності, що припадає на 1000 працюючих за період, що аналізується, і визначається за формулою

$$K_n = K_v \cdot K_m = 1000 \cdot \frac{D_n}{P}. \quad (5.3)$$

Загальні матеріальні втрати P_z від виробничого травматизму розраховуються за формулою

$$P_z = 1,5 \cdot D_n \cdot Z_{cp}, \quad (5.4)$$

де T – загальна кількість травм, що виникла у господарстві за звітний період;

P – середня кількість працюючих в господарстві за звітний період, чол.;

D_n – сумарна кількість днів тимчасової непрацездатності по всіх нещасних випадках, що враховані за звітний період;

Z_{cp} – середня заробітна плата потерпілих, грн;

1,5 – коефіцієнт, що враховує інші матеріальні втрати.

Розрахунок статистичних показників виробничого травматизму здійснено за формулами (5.1 - 5.4), а результати подано у табл. 5.2.

Таблиця 5.2 Статистичні показники травматизму

Показник	Роки			
	2018	2019	2020	2021
Кількість нещасних випадків	6	9	4	5
Сумарна кількість днів тимчасової непрацездатності	85	123	98	37
Показник частоти травматизму	31,74	51,14	23,67	27,78
Показник важкості травматизму	14,17	13,66	24,50	7,40
Показник втрат	449,73	698,86	579,88	205,55
Сумарні грошові втрати від виробничого травматизму, грн	14662,5	23247,0	21315,0	8824,5

З табл. 5.2 видно, що кількість нещасних випадків за останні роки у господарстві зменшилась. В основному, це пов'язано із зменшенням кількості працюючих та інтенсивності виробництва. Показник важкості травматизму зменшився майже у двічі – 14,17 до 7,40. Сумарні грошові втрати від виробничого травматизму, при їх рості у 2018 році на 58,5 %, у 2021 році зменшились на 39,8 % у порівнянні із 2020 роком.

5.5. Захист навколишнього середовища

З метою попередження нещасних випадків і збереження навколишнього середовища керівнику дільниці необхідно разом з санепідемстанцією ретельно опрацювати питання нейтралізації і захоронення шкідливих розчинів кислот, мийних засобів, лугів та інших матеріалів, що застосовуються при ремонті автомобілів.

На дільниці необхідно передбачити утилізацію використаного обтирального матеріалу, що застосовується при ремонті автомобілів.

Не допускається, щоб стічні води заносили шкідливі речовини на дитячі ігрові майданчики, житлові масиви, поля, водосховища, річки і т. п.

У проектах необхідно передбачити організоване відведення води, використовуваної при митті; її очищення та повторне використання. При необхідності слід планувати розробку пристроїв для видалення осадів та речовин, які спливають, центрифугування, фільтрування та хімічне очищення

миючих розчинів з метою одержання замкнутого зворотного циклу миття без зливання їх у каналізацію.

При змиванні відпрацьованих розчинів у загальну каналізацію необхідно спроектувати (запропонувати) пристрої для вловлювання нафтопродуктів, нейтралізації викидних розчинів кислот та лугів (наприклад, електролітів). При відсутності каналізації слід передбачити вивезення осадів, відпрацьованих мийних розчинів, електролітів та інших шкідливих речовин автоцистерною у спеціально відведені санітарно-епідеміологічною станцією місця утилізації.

На дільницях миття і фарбування машин, ковальсько зварювальному, полімерно-мідницькому, гальванічному, зарядки акумуляторних батарей, обкатки двигунів необхідно розробити примусову витяжку шкідливих, токсичних газоподібних середовищ з достатньою висотою витяжних труб.

Висновок

Аналіз стану охорони праці у підприємстві дозволяє зробити ряд висновків:

1. в наслідок зростання інтенсивності виробничих та технологічних процесів зростає імовірність виникнення нещасних випадків;
2. найбільш небезпечними з точки зору виробничого травматизму є період весняно – польових робіт та період збирання урожаю;
3. ріст продуктивності праці неможливий без проведення організаційних та технічних заходів направлених на покращення здорових та безпечних умов праці виконавців;
4. тенденція до зменшення виробничого травматизму у господарстві на жаль обумовлені не покращенням умов праці, а, швидше за все,

зменшенням інтенсивності виробництва та кількості працюючих у господарстві;

5. незважаючи на зростання в продовж чотирьох останніх років грошових засобів, направлених на покращення умов праці та протипожежні заходи, враховуючи інфляційні процеси та ціновий дисбаланс на промислову та сільськогосподарську продукцією, фінансування даної сфери можна вважати незадовільним.

ЗАГАЛЬНІ ВИСНОВКИ

Проведений аналіз даних про зчіпні властивості шин, з якого видно, що у відкритих джерелах немає даних про зчіпні властивості шипованих шин з відведенням на льоду.

Застосований метод дорожніх випробувань дозволяє отримати дані про зчіпні властивості шипованих шин з відведенням на льоду. У основу методу встановлена обробка даних, зареєстрованих при виконанні маневрів «гальмування задньою віссю в повороті» та «гальмування одним колесом».

Завдяки методу дорожніх випробувань отримані нові $\phi - S$ діаграми для шипованих та нешипованих шин в повздовжньому і поперечному напрямі. Ці діаграми мають між собою значні відмінності. Для шини з шипами за кута відведення 6° максимальний коефіцієнт зчеплення в повздовжньому напрямі становить 0,140 при повздовжньому ковзанні 60%, а для нешипованої шини максимальний коефіцієнт зчеплення в подовжньому напрямі склав 0,090 при повздовжньому ковзанні 15%. З кутом відведення 6° максимальні коефіцієнти зчеплення в поперечному напрямі для шипованої шини склали 0,175, а для нешипованої шини максимальний коефіцієнт зчеплення в поперечному напрямі склав 0,120.

Застосований новий критерій оцінки ефективності дії систем ЕКС, придатний для автомобілів, оснащених шинами з шипами. У основі критерію лежить середнє кутове прискорення автомобіля щодо вертикальної осі на 6 ділянках маневру «усічена синусоїда» і його порівняння із значеннями, що ідеалізуються.

У основу застосованої методики досліджень встановлений маневр «усічена синусоїда» зі швидкістю виконання маневру 45 км/год. та максимальним кутом повороту керма 100° . За цією методикою визначені критерії ефективності дії системи ЕКС в різних станах на легковому автомобілі, оснащеному шипованими та шинами без шипів. На ділянці маневру з фіксованим кутом повороту керма при значенні кутового прискорення, в ідеальному випадку,

рівним 0 застосування ЕКС на автомобілі, оснащеному шипованими шинами зменшує кутове прискорення на вказаній ділянці в 1,7 рази; на автомобілі, оснащеному шинами без шипів 5,2 рази.

Список використаних джерел

1. Правила ЄЕК ООН № 13-Н Вимоги до гальмівних систем механічних транспортних засобів категорії М, N і О. Київ: Держспоживстандарт України, 2006.
2. Fridstrom, L. The Safety Effect of Studded Tyres in Norwegian Cities / L. Fridstrom // *Nordic Road and Transport Research*. - № 1, 2001.
3. Дыгало В.Г., Ревин А. А. Технология испытания систем активной безопасности автотранспортных средств: монография. Київ: Арістей, 2012. 388 с.
4. Учебные материалы Toyota «Brake Systems - Basic Diagnosis (Russian_TMR)» Электрон. дан. Москва, 2010 Режим доступа: <https://lms.toyota-europe.com>, закрытый. Загл. с экрана.
5. Волков В.П., Вільський Г.Б. Теорія руху автомобіля Суми: Університетська книга, 2010. 320 с.
6. Вікович І.А. Теорія руху транспортних засобів. Львів: Видавництво Львівської політехніки, 2013. 672 с.
7. Зотов, Н.М., Балакина Е. В. Using the p- sx Nomogram in Calculating the Dynamics of a Braked Wheel // *Journal of Machinery Manufacture and Reliability*. 2007. - Vol. 36, No. 2. С. 193-198. Англ.
8. Малюгин, П.Н. Лаборатория для испытания шин на ледяном барабане. [Электронный ресурс] - Режим доступа: <http://www.sibadi.org>.
9. Рябчинский, А.И., Кисуленко Б. В. Регламентация активной и пассивной безопасности автотранспортных средств: учеб. пособие для студ. высш. учеб. заведений. Харьков: ХГАДТУ, 2006. 432 с.
10. Рачејка, Н.В. Tire and Vehicle Dynamics. Society of Automotive Engineers, Inc., 2002.- ISBN 0768011264.
11. Солтус А.П. Теорія експлуатаційних властивостей автомобіля. Київ: Арістей, 2006. 176 с.

12. Александров Е.Е., Волонцевич Д.О., Карпенко В.А. Динамика транспортно-тяговых колесных и гусеничных машин. Харьков: ХГАДТУ, 2001. 642 с.
13. Гащук П.М., Дубно М.В., Нефьодов О.Ф. Ідентифікація і нормування потенціалу автомобіля. Львів: Тріада ПЛЮС, 2007. 240 с.
14. Лобос Л.Г., Вербицкий В.Г., Качественный и аналитический методы в динамике кольчатых машин. Київ: Наукова думка, 1990. 196 с.
15. Шенеленко Г.И. Основы теории Самоходных машин. Харьков: Основа, 1993. 216 с.
16. Кристальный, С.Р., Попов Н.В., Фомичев С.Р. Метод определения коэффициента сцепления при испытаниях антиблокировочной систем легковых автомобилей. *Автомобільний транспорт*. 2014. № 6, С. 28-31.
17. Руководство по эксплуатации Nissan X-Trail III. - S.l.: Изд-во Nisan-Werke Aktiengesellschaft, 2014.
18. <https://www.nissan.ru>.
19. <http://www.yokohama.ru>.
20. http://www.corrsys-datron.com/Support/Data_Sheets/Datasheets-Access/cds - d_DIST-BOX_e.pdf
21. <https://www.all-pribors.ru/docs/21440-11.pdf>.
22. Технический регламент таможенного союза. - 2011.
23. ECE/TRANS/180/Add.8 31.07.2008 Организация Объединенных Наций. Соглашения о введении глобальных технических правил для колесных транспортных средств, предметов оборудования и частей, которые могут быть установлены и/или использованы на колесных транспортных средствах. Глобальные технические правила №8. Электронные системы контроля устойчивости.
24. Пістун І.П., Хом'як Й. В., Хом'як В. В. Охорона праці на автомобільному транспорті: навчальний посібник. Суми: Університетська книга. 2006. 374 с.